

STUDI STRUKTUR GEOLOGI VOLCANIC-GEOTHERMAL
DAERAH SAMPURAGA, KABUPATEN MANDAILING NATAL,
SUMATERA UTARA BERDASARKAN SURVEI GAYABERAT

SKRIPSI

Oleh :

AIM MATUL INSANI SEPTIYANA

0510930005 - 93



JURUSAN FISIKA

FAKULTAS MATEMATIKA DAN ILMU PENGETAHUAN ALAM

UNIVERSITAS BRAWIJAYA

MALANG

2009

STUDI STRUKTUR GEOLOGI VOLCANIC-GEOTHERMAL
DAERAH SAMPURAGA, KABUPATEN MANDAILING NATAL,
SUMATERA UTARA BERDASARKAN SURVEI GAYABERAT

SKRIPSI

Sebagai salah satu syarat untuk memperoleh gelar
Sarjana Sains dalam bidang Fisika

Oleh :

AIM MATUL INSANI SEPTIYANA
0510930005 - 93



JURUSAN FISIKA
FAKULTAS MATEMATIKA DAN ILMU PENGETAHUAN ALAM
UNIVERSITAS BRAWIJAYA
MALANG
2009



LEMBAR PENGESAHAN SKRIPSI

STUDI STRUKTUR GEOLOGI VOLCANIC-GEOTHERMAL DAERAH SAMPURAGA, KABUPATEN MANDAILING NATAL, SUMATERA UTARA BERDASARKAN SURVEI GAYABERAT

Oleh :

Aim Matul Insani Septiyana
0510930005

Setelah dipertahankan di depan Majelis Pengaji
pada tanggal
dan dinyatakan memenuhi syarat untuk memperoleh gelar
Sarjana Sains dalam bidang Fisika

Pembimbing I

DR. Sunaryo, S.Si, M.Si
NIP . 132 125 708

Pembimbing II

Edi Suhanto, S.Si, Dipl. Geoth.Tech
NIP. 100 012 424

Mengetahui,

Ketua Jurusan Fisika
Fakultas Matematika dan Ilmu Pengetahuan Alam
Universitas Brawijaya

Drs. Adi Susilo,M.Si,Ph.D
NIP. 131 960 447



LEMBAR PERNYATAAN

Saya yang bertanda tangan di bawah ini :

Nama : Aim Matul Insani Septiyana
NIM : 051093005-93
Jurusan : Fisika
Penulis Skripsi Berjudul :

STUDI STRUKTUR GEOLOGI VOLCANIC-GEOTHERMAL DAERAH SAMPURAGA, KABUPATEN MANDAILING NATAL, SUMATERA UTARA BERDASARKAN SURVEI GAYABERAT

Dengan ini menyatakan bahwa :

1. Isi dari Skripsi yang saya buat adalah benar-benar karya sendiri dan tidak menjiplak karya orang lain, nama-nama dan karya-karya yang ada dalam daftar pustaka digunakan semata-mata untuk acuan.
2. Apabila di kemudian hari ternyata Skripsi yang saya tulis terbukti hasil jiplakan, maka saya akan bersedia menanggung segala resiko yang akan saya terima.

Demikian pernyataan ini dibuat dengan segala kesadaran.

Malang, ... Agustus 2009
Yang menyatakan,

(Aim Matul Insani Septiyana)
NIM. 0510930005



**STUDI STRUKTUR GEOLOGI VOLCANIC-GEOTHERMAL
DAERAH SAMPURAGA, KABUPATEN MANDAILING NATAL,
SUMATERA UTARA BERDASARKAN
SURVEI GAYABERAT**

ABSTRAK

Telah dilakukan penelitian panasbumi dengan menggunakan metode gayaberat di daerah Sampuraga, Kabupaten Mandailing Natal, Sumatera Utara. Pengukuran data primer dilakukan pada tanggal 17–31 Juli 2007 dengan menggunakan gravimeter *La Coste Romberg type G-802* sebanyak 263 titik. Data hasil pengukuran yang didapat adalah waktu dan tanggal pengambilan data. Letak titik pengamatan, pembacaan gravimeter, koreksi pasang surut, ketinggian titik pengamatan dan koreksi medan. Pengolahan data dilakukan untuk mendapatkan nilai anomali Bouguer dan anomali sisa. Kontur anomali Bouguer memperlihatkan adanya arah kelurusinan baratlaut - tenggara yang cukup panjang dan diperkirakan memotong daerah manifestasi panas bumi Sampuraga. Anomali Bouguer rendah diindikasikan terjadi akibat batuan bawah permukaan bumi sudah mengalami alterasi akibat gejala *hydrothermal* di daerah tersebut. Manifestasi panasbumi di Sampuraga berupa mata air panas yang disebabkan adanya terobosan dari batuan dasit. Anomali sisa positif disebabkan oleh batuan intrusi yang tersingkap dan diperkirakan sebagai sumber panasbumi di Sampuraga. Sumber panas adalah batuan dasit yang menerobos kerak granitik hingga lapisan batuan vulkanik melalui rekahan-rekahan batuan.

Kata kunci: *gayaberat, panasbumi*



**VOLCANIC GEOTHERMAL OF GEOLOGY STRUCTURE STUDY
AT SAMPURAGA AREA, MANDAILING NATAL REGENCY,
NORTH SUMATRA BASED GRAVITATION SURVEY**

ABSTRACT

Study on geothermal using gravity method at Sampuraga area, Mandailing Natal Regency, North Sumatera had been done. The data aquisition of primary data was taken at 17 – 31 July 2007 using gravimeter La Coste Romberg type G-802 on 263 points. The data obtained result of measurement are time and date, location of observation points, gravimeter readings, tidal correction, elevation of observation points and terrain correction. Data processing is done to get the value of Bouguer anomaly and residual anomaly. Bouguer anomaly contours show the direction straightness from northwest until shouthwest and estimated to cut off geothermal manifestation at Sampuraga area. A low Bouguer anomaly is to estimated rocks of the subsurface due to hydrothermal alterations in this area. Geothermal manifestation at Sampuraga area is a hotsprings caused the breakthrough of dasit rock. A positive residual anomaly is caused by intrusion of rock and estimated as a source of geothermal at Sampuraga area. Heat source is dasit rock who intruded granitic crust until volcanic rock layer from fracture the rocks.

Keyword : gravity, geothermal.



بِسْمِ اللَّهِ الرَّحْمَنِ الرَّحِيمِ

KATA PENGANTAR

Alhamdulillahi Robbil'alamin, Puji syukur kehadirat Allah SWT yang telah melimpahkan rahmat-Nya sehingga penulis dapat menyelesaikan tugas akhir dengan judul "Studi Struktur Geologi *Volcanic-Geothermal* Daerah Sampuraga, Kabupaten Mandailing Natal, Sumatera Utara Berdasarkan Survei Gayaberat" ini dengan sebaik-baiknya.

Selesainya laporan ini juga berkat adanya bantuan dan bimbingan dari berbagai pihak. Karena itu penulis sampaikan penghargaan dan ucapan terima kasih kepada :

1. Bapak Drs. Adi Susilo, M.Si, PhD., selaku Ketua Jurusan Fisika Fakultas MIPA, Universitas Brawijaya Malang.
2. Bapak Sunaryo,S.Si M.Si. selaku pembimbing I, atas waktu yang telah diluangkan selama pembuatan laporan tugas akhir ini.
3. Bapak Edi Suhanto, S.Si, Dipl. Geoth.Tech selaku pembimbing II atas waktu, perhatian dan bimbangannya selama di Bandung.
4. Bapak Kasbani, Pak Asep, Bu Ana, Pak Timoer dan bapak-bapak ESDM yang lain atas bantuannya selama di Bandung.
5. Ayah, Ibu, mpi, yek, ompel dan ndut. Terima kasih atas segala dukungan, semangat, nasehat, materi dan doa yang telah diberikan selama ini. Kalian adalah sumber kekuatanku.
6. Bapak dan Ibu Dosen Fisika yang telah mengajar selama ini, seluruh Karyawan dan Laboran Jurusan Fisika, FMIPA, Universitas Brawijaya.
7. Teman-teman seperjuangan di UKM-UAKI-UB, KBM Geofisika, HIMAFIS UB, temen2 kost 261 D dan semua sahabat atas bantuan dan semangatnya selama ini.
8. Teman-teman Fisika khususnya Angkatan 2005, terima kasih atas kebersamaanya selama ini.
9. Semua pihak yang telah membantu kesuksesan penulisan skripsi ini, terimakasih banyak.

Penulis menyadari bahwa penulisan ini masih jauh dari sempurna. Untuk itu kritik dan saran penulis harapkan demi kesempurnaan laporan. Semoga laporan ini dapat bermanfaat bagi semua pihak.

Malang, Agustus 2009

Penulis

(Halaman ini sengaja dikosongkan)



DAFTAR ISI

	Halaman
HALAMAN JUDUL -----	i
LEMBAR PENGESAHAN -----	iii
LEMBAR PERNYATAAN -----	v
ABSTRAK -----	vii
ABSTRACT -----	viii
KATA PENGANTAR -----	ix
DAFTAR ISI-----	xi
DAFTAR GAMBAR -----	xiv
BAB I PENDAHULUAN	
1.1. Latar Belakang -----	1
1.2. Rumusan Masalah -----	2
1.3. Batasan Masalah -----	3
1.4. Tujuan Penelitian-----	3
1.5. Manfaat Penelitian -----	3
BAB II TINJAUAN PUSTAKA	
2.1. Tinjauan Pustaka Daerah Penelitian-----	5
2.1.1. Tinjauan Geomorfologi Daerah Penelitian -----	5
2.1.1.1. Geomorfologi Perbukitan Berlereng Terjal -----	5
2.1.1.2. Geomorfologi Perbukitan Bergelombang -----	5
2.1.1.3. Geomorfologi Pedataran -----	5
2.1.2. Tinjauan Struktur Geologi Daerah Penelitian -----	6
2.1.2.1. Sesar Longat -----	6
2.1.2.2. Sesar Panyabungan -----	6
2.1.2.3. Sesar Sirambas -----	6
2.1.2.4. Sesar Batang Gadis -----	7
2.2. Prinsip-prinsip Gayaberat -----	9
2.2.1. Teori Gayaberat Newton -----	9
2.2.2. Metode Gayaberat -----	9
2.2.3. Potensial Gayaberat Distribusi Massa -----	10
2.2.4. Rapat Massa -----	10
2.2.5. Gayaberat Normal -----	11
2.2.6. Koreksi Awal -----	11
2.2.6.1. Konversi Skala Pembacaan -----	11
2.2.6.2. Koreksi Tidal (<i>Tidal Correction</i>) -----	12

2.2.6.3. Koreksi Drift -----	12
2.2.6.4. Koreksi Udara Bebas (<i>Free Air Correction</i>) -----	14
2.2.6.5. Koreksi Medan (<i>Terrain Correction</i>) -----	14
2.2.6.6. Koreksi Bouguer -----	15
2.2.6.7. Anomali Bouguer -----	17
2.3. Panasbumi -----	18
BAB III METODE PENELITIAN	
3.1. Tempat dan Waktu Penelitian -----	21
3.2. Tahapan Penelitian -----	23
3.3. Data Penelitian -----	23
3.4. Peralatan Penelitian -----	23
3.5. Prosedur Pelaksanaan Penelitian -----	24
3.5.1. Pengolahan Data -----	24
3.5.2. Penggambaran Pola Anomali Bouguer dan Anomali Sisa -----	24
3.5.3. Pemodelan Geologi -----	24
3.5.4. Interpretasi Data -----	25
BAB IV HASIL DAN PEMBAHASAN	
4.1. Pengolahan Data -----	27
4.1.1. Konversi ke Nilai mGal -----	27
4.1.2. Koreksi Pasang Surut (<i>Tidal Correction</i>) -----	27
4.1.3. Koreksi Drift (<i>Drift Correction</i>) -----	27
4.1.4. Nilai Gayaberat Observasi (g_{obs}) -----	28
4.1.5. Nilai Gayaberat Normal -----	28
4.1.6. Koreksi Udara Bebas (<i>Free Air Correction</i>) -----	28
4.1.7. Koreksi Medan -----	29
4.1.8. Penentuan Densitas Batuan dan Koreksi Bouguer -----	30
4.1.9. Nilai Anomali Bouguer -----	30
4.1.10. Pemisahan Anomali Regional dan Anomali Sisa -----	31
4.2. Interpretasi Data-----	32
4.2.1. Interpretasi Kualitatif Anomali Bouguer dan Anomali Sisa -----	33
4.2.2. Interpretasi Kuantitatif Anomali Bouguer dan Anomali Sisa -----	38
4.2.2.1. Interpretasi Kuantitatif Penampang Melintang Anomali Bouguer AA' dan BB' -----	39
4.2.2.2. Interpretasi Kuantitatif Penampang Melintang Anomali Sisa AA' dan BB' -----	42

4.3. Potensi Sumber Daya Panasbumi -----	45
BAB V PENUTUP	
5.1. Kesimpulan -----	47
5.2. Saran -----	48
DAFTAR PUSTAKA -----	49
LAMPIRAN -----	51



DAFTAR GAMBAR

Halaman

Gambar 2.1. Peta geologi daerah Panasbumi Sampuraga, Mandailing Natal, Sumatera Utara -----	8
Gambar 2.2. Pengukuran titik-titik pengamatan dalam suatu lintasan pengukuran -----	13
Gambar 2.3. Efek terrain dari bukit atau lembah disekitar titik pengamatan -----	14
Gambar 2.4. <i>Hammert chart</i> -----	15
Gambar 2.5. Lapisan bumi -----	18
Gambar 2.6. Reservoar panasbumi-----	19
Gambar 3.1. Peta daerah Panasbumi Sampuraga, Mandailing Natal, Sumatera Utara -----	21
Gambar 3.2 Titik akuisisi data yang dikorelasikan dengan kontur ketinggian -----	22
Gambar 3.3. Diagram alir penelitian -----	25
Gambar 4.1. Kontur ketinggian yang dikorelasikan dengan kontur koreksi udara bebas (interval 1 mGal) -	29
Gambar 4.2. Kontur anomali Bouguer (interval 1 mGal) ---	31
Gambar 4.3. Kontur anomali sisa (interval 1 mGal) -----	32
Gambar 4.4. Kontur ketinggian yang dikorelasikan dengan kontur anomali Bouguer (interval 1 mGal)----	33
Gambar 4.5. Peta geologi yang dikorelasikan dengan kontur anomali Bouguer -----	34
Gambar 4.6. Kontur ketinggian yang dikorelasikan dengan kontur anomali sisa (interval 1 mGal) -----	36
Gambar 4.7. Peta geologi yang dikorelasikan dengan kontur anomali sisa-----	37
Gambar 4.8. Anomali Bouguer dengan model dua lintasan	39
Gambar 4.9. Model penampang melintang anomali Bouguer AA' -----	40
Gambar 4.10. Model penampang melintang anomali Bouguer BB' -----	41
Gambar 4.11. Anomali sisa dengan model dua lintasan -----	42
Gambar 4.12. Model penampang melintang anomali sisa AA'	43
Gambar 4.13. Model Penampang melintang anomali sisa BB'	44

BAB I

PENDAHULUAN

1.1. Latar Belakang

Metode gayaberat atau metode graviti merupakan salah satu metode geofisika yang berdasarkan atas pengukuran variasi gayaberat bumi. Metode gayaberat menganalisa tentang perbedaan gayaberat yang diakibatkan adanya variasi rapat massa batuan penyusun bawah permukaan bumi. Besaran fisis yang diukur dalam metode gayaberat adalah nilai gayaberat bumi. Maka yang diselidiki di lapangan adalah perbedaan nilai gayaberat dari satu titik pengamatan terhadap titik pengamatan yang lain. Dari data percepatan gayaberat kemudian diolah untuk mendapatkan anomali gayaberat.

Pengukuran gayaberat terbagi menjadi pengukuran mutlak dan pengukuran relatif. Pengukuran gayaberat mutlak dilakukan untuk mengetahui nilai gayaberat mutlak di suatu titik permukaan bumi dengan cara menentukan percepatan dari gerak jatuh bebas dengan menggunakan pendulum. Sedangkan pengukuran gayaberat relatif dilakukan untuk mengetahui nilai gayaberat diantara dua titik pengamatan yang dilakukan dengan menggunakan gravimeter. Alat gravimeter yang digunakan pada pengukuran data primer adalah gravimeter *LaCoste-Romberg* tipe G - 802. Metode gayaberat lebih banyak digunakan untuk pemetaan struktur bawah permukaan secara regional yang digunakan sebagai penelitian awal.

Metode gayaberat merupakan salah satu metode yang bersifat pasif karena data pengukuran bisa didapat secara langsung dari pengukuran di lapangan tanpa harus memberikan energi masukan pada bumi. Metode gayaberat memiliki suatu kelebihan untuk survei awal karena dapat memberikan informasi yang cukup detail tentang struktur geologi dan kontras densitas batuan. Sedangkan untuk eksplorasi, metode gayaberat digunakan untuk mencari struktur kubah garam, patahan dan lipatan. Namun pada saat ini metode gayaberat banyak digunakan dalam eksplorasi minyak dan gas bumi, mineral, panasbumi (*geothermal*), kegunungan, penelitian tektonik dan berbagai penelitian lainnya.

Pada kasus panasbumi, perbedaan densitas batuan merupakan acuan dalam penyelidikan gayaberat. Dimana sumber panas dan daerah akumulasinya di bawah permukaan bumi dapat menyebabkan perbedaan densitas dengan massa batuan sekitarnya. Hasil dari penyelidikan gayaberat yang memberikan gambaran bawah permukaan dapat digunakan untuk penafsiran struktur-struktur basemen dan patahan yang mungkin dijadikan

sebagai jalur keluar oleh fluida-fluida panasbumi. Adapun manifestasi dari suatu sistem panasbumi (*geothermal system*) antara lain mata air panas, *fumarole*, hembusan gas, dll. Hal ini merupakan tanda-tanda alam yang menunjukkan di bawah lokasi manifestasi panasbumi tersebut diperkirakan adanya intrusi magma yang memanaskan batuan sekelilingnya.

Penelitian ini mengambil bahasan mengenai kontras densitas batuan di daerah panasbumi Sampuraga, Kabupaten Mandailing Natal, Sumatera Utara dengan landasan pemikiran bahwa daerah tersebut berada di wilayah gunungapi yang sudah tidak aktif. Jadi secara tidak langsung dapat diasumsikan bahwa terdapat suatu massa vulkanik dalam suatu reservoir yang memiliki perbedaan densitas dengan batuan di sekitarnya. Penggunaan metode gayaberat dalam menganalisa densitas batuan dianggap tepat karena metode gayaberat memiliki respon yang sangat baik terhadap perbedaan densitas batuan di bawah permukaan. Dengan mengolah dan menginterpretasikan data kontras anomali gayaberat maka dapat digunakan untuk memperkirakan tentang struktur anomali densitas bawah permukaan yang diharapkan dapat memberi gambaran mengenai struktur bawah permukaan di daerah panasbumi Sampuraga.

1.2. Perumusan Masalah

Berdasarkan latar belakang di atas, maka sasaran yang ingin dicapai dalam penulisan tugas akhir ini adalah sebagai berikut :

- a. Bagaimana melakukan pengolahan data gayaberat di daerah panasbumi Sampuraga, Kabupaten Mandailing Natal, Sumatera Utara untuk mendapatkan nilai anomali Bouguer dan anomali sisa?
- b. Bagaimana struktur batuan bawah permukaan daerah Sampuraga untuk mengetahui tentang *volcanic-geothermal* berdasarkan anomali Bouguer dan anomali sisa?

1.3. Batasan Masalah

Penelitian ini dilakukan untuk mengetahui anomali Bouguer dari satu titik pengamatan terhadap titik pengamatan yang lain pada daerah panasbumi Sampuraga. Maka batasan masalah pada penelitian ini, yaitu :

- a. Wilayah yang diteliti adalah daerah panasbumi Sampuraga, Kabupaten Mandailing Natal, Sumatera Utara yang terletak pada koordinat 552500–565000 (meter) BT dan 84000-97000 (meter) LU zona 47 bumi bagian utara.

- b. Pengolahan data dilakukan sampai menemukan anomali Bouguer, anomali sisa dan kontras densitas batuan bawah permukaan di daerah panasbumi Sampuraga, Kabupaten Mandailing Natal, Sumatera Utara.

1.4. Tujuan Penelitian

Tujuan dari penelitian ini adalah sebagai berikut :

- a. Untuk mengetahui nilai anomali Bouguer dan anomali sisa di daerah panasbumi Sampuraga dari hasil pengolahan data gayaberat.
- b. Untuk memperkirakan struktur batuan bawah permukaan tentang *volcanic-geothermal* di daerah Sampuraga berdasarkan anomali Bouguer dan anomali sisa.

1.5. Manfaat Penelitian

Hasil penelitian ini diharapkan dapat bermanfaat bagi instansi yang terkait, mahasiswa dan masyarakat umum sebagai tambahan informasi atau pengetahuan yaitu :

- a. Dapat memahami proses pengolahan data, interpretasi data yang komprehensif sehingga mengetahui tentang anomali Bouguer dan anomali sisa di daerah panasbumi Sampuraga.
- b. Dapat menerapkan salah satu metode geofisika dalam memahami tentang *volcanic-geothermal* di daerah Sampuraga.



UNIVERSITAS BRAWIJAYA

(halaman ini sengaja dikosongkan)



BAB II

TINJAUAN PUSTAKA

2.1. Tinjauan Pustaka Daerah Penelitian

2.1.1. Tinjauan Geomorfologi Daerah Penelitian

Berdasarkan pengamatan bentang alam dan tingkat kemiringan lerengnya, maka geomorfologi daerah penelitian dapat dikelompok menjadi tiga satuan geomorfologi yaitu satuan perbukitan berlereng terjal, perbukitan bergelombang dan satuan pedataran seperti yang ditunjukkan pada Gambar 2.1.

2.1.1.1 Geomorfologi Perbukitan Berlereng Terjal

Satuan geomorfologi ini menempati bagian barat dan selatan daerah penyelidikan yang meliputi sekitar 47% luas daerah penyelidikan. Umumnya berupa perbukitan memanjang berelif kasar, berlereng terjal antara 21% - 55% dengan elevasi antara 275 – 1475 meter di atas permukaan laut. Satuan ini tersusun oleh batuan gunungapi tersier berupa aliran lava dan aliran piroklastik.

2.1.1.2 Geomorfologi Perbukitan Bergelombang

Satuan geomorfologi ini menempati bagian timur sampai selatan daerah panasbumi Sampuraga yaitu sekitar 24% dari luas daerah telitian. Satuan ini terdiri atas perbukitan dengan kemiringan lereng antara 14% - 20% dan berada pada elevasi antara 250 - 525 meter di atas permukaan laut. Satuan morfologi ini tersusun oleh batuan granit, aliran piroklastik dan lahar.

2.1.1.3 Geomorfologi Pedataran

Satuan pedataran terdapat di bagian tengah dan utara daerah panasbumi Sampuraga yang menempati areal sekitar 29% dari luas daerah penelitian. Daerah ini berada pada ketinggian antara 200-250m di atas permukaan air laut dengan kemiringan lereng antara 0% - 2%. Satuan ini tersusun oleh satuan batuan sedimen dan endapan alluvium yang terdiri dari material lepas berupa hasil rombakan batuan di bagian hulu sungai, dengan bentuk fragmen membundar hingga membundar tanggung.

2.1.2 Tinjauan Struktur Geologi Daerah Penelitian

Penentuan struktur geologi didasarkan atas hasil pengamatan lapangan, analisa citra *landsat* dan peta topografi terhadap gejala-gejala struktur di permukaan seperti pemunculan mata air panas, kelurusan lembah dan punggungan, bidang sesar dan zona hancuran batuan. Berdasarkan hal tersebut maka di daerah panasbumi Sampuraga terdapat empat struktur sesar, yaitu:

2.1.2.1 Sesar Longat

Struktur sesar ini berarah relatif baratlaut-tenggara. Indikasi di lapangan menunjukkan adanya kelurusan punggungan bukit dan lembah yang memanjang berarah relatif baratlaut-tenggara, kekar dan hancuran batuan. Jenis sesar ini diperkirakan sesar normal dimana blok timurlaut relatif bergerak turun dan bagian baratdaya sebagai blok yang relatif naik. Sesar ini terjadi akibat gaya yang bersifat tarikan yang berarah timurlaut-baratdaya. Sesar Normal Longat memotong batuan vulkanik Lava Andesit Porfiri dan Andesit yang berumur Miosen.

2.1.2.2 Sesar Panyabungan

Tersebar di bagian timurlaut daerah panasbumi Sampuraga berarah relatif sama dengan Sesar Normal Longat, yaitu baratlaut-tenggara. Indikasi lapangan ditemukan adanya kekar dan dinding bidang sesar yang memanjang. Jenis struktur adalah sesar normal, dimana blok bagian timurlaut merupakan bagian yang relatif bergerak naik dan blok bagian baratdaya sebagai bagian yang relatif bergerak turun. Sesar Normal Panyabungan ini diperkirakan membentuk sesar tangga (*step fault*) dengan Sesar Normal Longat yang ada di sebelah baratnya. Kedua sesar ini berperan penting dalam pembentukan zona depresi berupa graben Panyabungan. Sesar ini memotong Satuan Granit Pra Tersier.

2.1.2.3 Sesar Sirambas

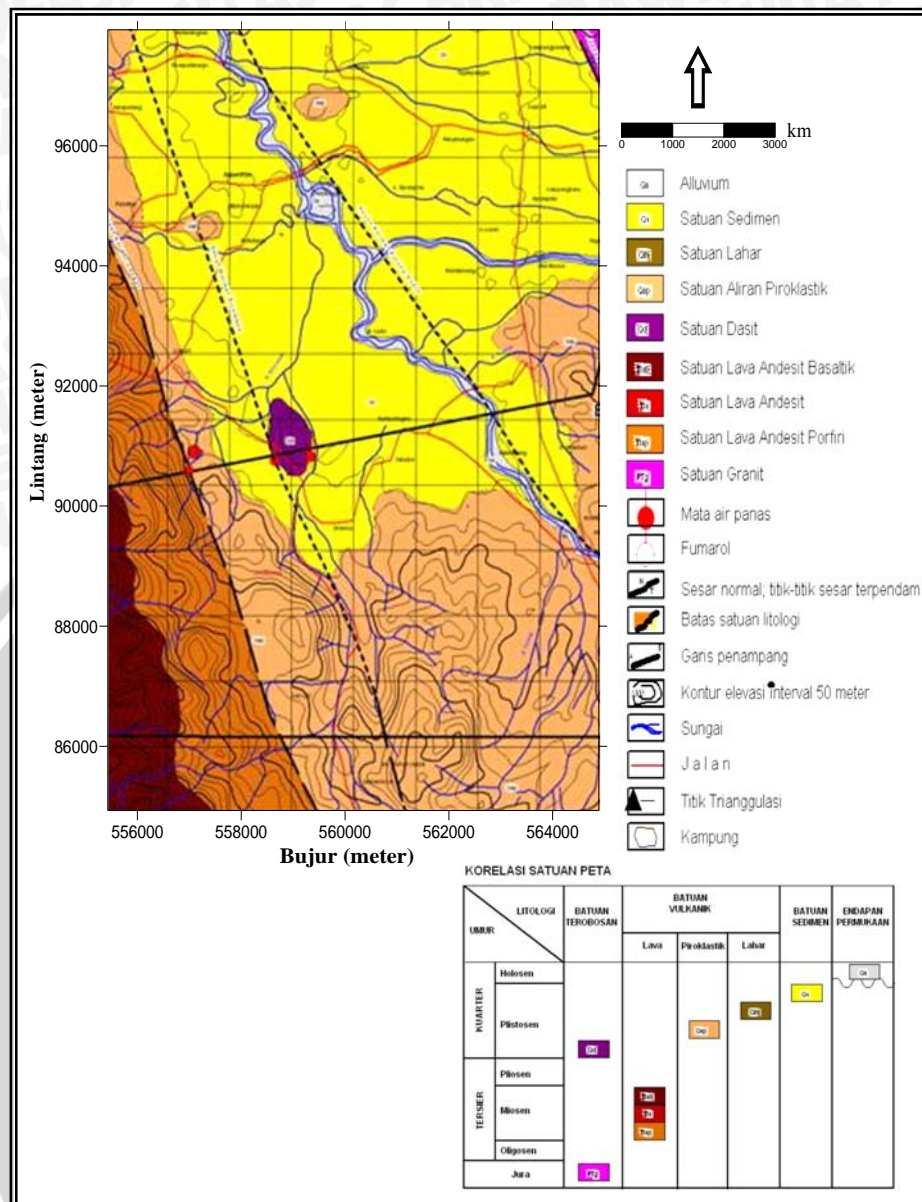
Sesar Sirambas berada di bagian tengah daerah panasbumi Sampuraga yang melintasi Desa Sirambas. Diperkirakan sebagai sesar normal berarah baratlaut-tenggara dimana blok sebelah baratdaya relatif bergerak naik dan blok sebelah timurlaut relatif bergerak turun. Dijumpai berupa zona hancuran batuan, kelurusan topografi berupa lembah Sungai Aek Nagari dan dinding sesar di daerah Aek Ngali sampai ke Lumban Dolok dan indikasi lainnya adalah kelurusan pemunculan mata air panas

Sampuraga di tengah Desa Sirambas dengan mata air panas Roburan Lombang di bagian selatan. Sesar tersebut berperan dalam pembentukan Graben Panyabungan dan pemunculan bukit-bukit memanjang dari tenggara ke baratlaut yang tersusun oleh satuan aliran piroklastik hasil dari erupsi celah (*fissure eruption*).

2.1.2.4 Sesar Batang Gadis

Sesar Batang Gadis berada di bagian tengah daerah panasbumi Sampuraga memanjang searah aliran Sungai Batang Gadis, berarah baratlaut-tenggara. Sesar ini adalah sesar normal dengan blok baratdaya sebagai bagian yang bergerak turun dan blok sebelah timurlaut sebagai bagian yang bergerak naik. Bersamaan dengan Sesar Normal Sirambas yang berada di bagian baratnya, sesar ini merupakan bagian dari Graben Panyabungan. Penarikan sesar berdasarkan kelurusan topografi yang diambil secara regional dan analisis citra satelit yang menunjukkan pola kelurusan (Soetoyo, 1996).





Gambar 2.1 Peta geologi daerah panasbumi Sampuraga, Mandailing Natal - Sumatera Utara (Kastowo, 1996).

2.2. Prinsip-prinsip Gayaberat

2.2.1. Teori Gayaberat Newton

Teori gayaberat didasarkan pada hukum Newton tentang gayaberat. Hukum gayaberat Newton yang menyatakan bahwa gaya tarik menarik antara dua buah benda adalah sebanding dengan massa kedua benda tersebut dan berbanding terbalik dengan jarak kuadrat antara pusat massa kedua benda tersebut (Kirbani, 2001).

Hukum gayaberat Newton :

$$\vec{F} = G \times \frac{M \times m}{R^2} \hat{R} \quad \dots \dots \dots \quad (2.1)$$

Dimana, konstanta gayaberat (G) = $6,67 \times 10^{-11}$ N.m².kg⁻². Sedangkan hukum Newton lainnya adalah mengenai gerak yang menyatakan bahwa gaya (\vec{F}) adalah perkalian antara massa dengan percepatan. Hukum kedua Newton mengenai gerak, yaitu:

$$\vec{F} = mxg \quad \dots \dots \dots \quad (2.2)$$

Persamaan (2.1) disubstitusikan ke persamaan (2.2), maka didapat :

$$g = G \times \frac{M}{R^2} \quad \dots \dots \dots \quad (2.3)$$

Persamaan terakhir ini menunjukkan bahwa besarnya percepatan yang disebabkan oleh gayaberat di bumi (g) adalah berbanding lurus dengan massa bumi (M) dan berbanding terbalik dengan kuadrat jari-jari (R) bumi. Dalam teori, nilai gayaberat bumi besarnya sama diseluruh permukaan bumi. Dalam kenyataannya nilai gayaberat bervariasi disetiap tempat karena bentuk bumi pepat akibat rotasi bumi, bentuk topografi permukaan bumi yang tidak teratur serta distribusi massa yang bervariasi terutama didekat permukaan.

2.2.2. Metode Gayaberat

Metode gayaberat merupakan metode penyelidikan dalam geofisika yang didasarkan pada variasi medan gayaberat di permukaan bumi. Dalam metoda ini yang dipelajari adalah variasi gayaberat akibat variasi rapat massa batuan di bawah permukaan, sehingga dalam pelaksanaannya yang diselidiki adalah perbedaan gayaberat dari suatu titik pengamatan terhadap titik pengamatan lainnya (Kirbani, 2001).

Dalam metode gayaberat, pengukuran dilakukan terhadap nilai komponen vertikal dari percepatan gayaberat di suatu tempat. Namun pada kenyataannya, bentuk bumi tidak bulat sehingga terdapat variasi nilai percepatan gayaberat untuk masing-masing tempat. Hal-hal yang dapat mempengaruhi nilai percepatan gayaberat adalah perbedaan derajat garis

lintang, perbedaan ketinggian (*topografi*), kedudukan bumi dalam tata surya, variasi rapat massa batuan dibawah permukaan bumi, perbedaan elevasi tempat pengukuran dan hal lain yang dapat memberikan kontribusi terhadap nilai gayaberat, misalnya bangunan dan lain-lain.

2.2.3. Potensial Gayaberat Distribusi Massa

Pada potensial gayaberat berlaku prinsip superposisi yaitu potensial gayaberat dari sekumpulan massa merupakan penjumlahan dari masing-masing massa. Besar potensial pada partikel uji merupakan penjumlahan vektor dari potensial massa. Prinsip superposisi dapat diterapkan untuk menentukan potensial gayaberat pada distribusi massa yang kontinu. Suatu distribusi massa yang kontinu m adalah sekumpulan massa yang sangat kecil dan banyak, $dm = \rho(x,y,z)dv$, dimana $\rho(x,y,z)$ adalah densitas dari distribusi massa. Dengan menerapkan prinsip superposisi maka didapatkan :

$$U(P) = \gamma \int_v \frac{dm}{r} = \gamma \int_v \frac{\rho(Q)}{r} dv \quad \dots \dots \dots \quad (2.4)$$

Dimana pengintegrasian meliputi v , volume sebenarnya dari massa. Sedangkan P merupakan titik pengamatan, Q merupakan titik pengintegrasian dan r adalah jarak antara P dan Q . Densitas memiliki satuan gr.cm⁻³ (Blakely,1995).

2.2.4. Rapat Massa

Rapat massa (ρ) merupakan perbandingan massa terhadap volume suatu benda. Suatu batuan dengan pori-pori yang terisi oleh fluida (air, minyak atau gas) dapat dinyatakan sebagai rapat massa dengan n komponen. Fraksi dan rapat massa fraksi masing-masing V_i dan ρ_i dapat dinyatakan dengan persamaan;

$$\rho = \sum_{i=1}^n \frac{V_i}{V} \rho_i \quad \dots \dots \dots \quad (2.5)$$

Apabila fraksi disederhanakan menjadi tiga bagian yaitu fraksi matriks padat, fraksi liquid dan fraksi gas, maka persamaan di atas menjadi :

$$\rho = \frac{V_m}{V} \rho_m + \frac{V_f}{V} \rho_f + \frac{V_g}{V} \rho_g \quad \dots \dots \dots \quad (2.6)$$

Dimana ρ_m , ρ_f , ρ_g masing-masing adalah rapat massa material matriks, rapat massa fluida dan rapat massa gas. Persamaan di atas menjelaskan bahwa rapat massa dipengaruhi oleh perubahan saturasi fluida atau perubahan massa komponen-komponennya. Apabila rapat massa

komponen pembentukannya tetap maka porositas batuannya tidak berubah. Anomali gayaberat ini berhubungan langsung dengan adanya perubahan rapat massa sebagai akibat adanya perubahan material yang mengisi volume pori sumber anomali (Kadir,1999).

2.2.5. Gayaberat Normal

Gayaberat normal adalah gayaberat teoritis pada permukaan laut rata-rata yang merupakan fungsi dari lintang geografi. Harga gayaberat normal telah banyak dirumuskan berdasarkan konstanta-konstanta yang diperhitungkan. Di tahun 1967 *Geodetic Reference System* menentukan rumusan IGF 1967 adalah:

$$G_\phi = 978031,846(1+0,0053024\sin^2\theta-0,0000058\sin^22\theta) \quad \dots \quad (2.7)$$

dimana G_ϕ dalam m.s^{-2} dan θ adalah sudut lintang (Blakely,1995). Gayaberat memiliki satuan m/det^2 (dalam SI), dimana $1\text{Gal}=1\text{cm/det}^2=10^{-2}\text{ m/det}^2$.

2.2.6. Koreksi Awal

2.2.6.1. Konversi Skala Pembacaan

Nilai pembacaan alat gravimeter yang diperoleh dari suatu pengukuran adalah dalam besaran skala yang harus dikonversi ke dalam satuan percepatan gayaberat (dalam satuan mGal). Hal ini dilakukan dengan menggunakan tabel konversi dari alat gravimeter yang digunakan dalam penelitian. Perumusan yang digunakan dalam melakukan konversi skala pembacaan adalah :

$$\text{mGal}=[\{(Bacaan}-counter)x\text{Faktor Interval}\}+\text{mGal}]x\text{CCF} \quad \dots \quad (2.8)$$

Dimana nilai CCF (*Calibration Correction Factor*) merupakan faktor kalibrasi dari alat gravimeter. Konversi pembacaan ini dilakukan untuk seluruh pembacaan yang diperoleh dalam setiap titik pengukuran (Hadipandoyo, 2004).

2.2.6.2. Koreksi Tidal (*Tidal Correction*)

Penarikan massa bumi, bulan dan matahari dalam peredarannya mempengaruhi percepatan gayaberat bumi. Besarnya pengaruh pasang surut berkisar antara $-0,10$ sampai $0,15$ mGal. Nilai maksimum akan tercapai bila posisi bumi, bulan dan matahari dalam satu garis dan akan mencapai nilai minimum bila bulan, bumi dan matahari berada dalam satu garis.

Bulan dan matahari memiliki pengaruh yang paling besar dibanding benda-benda langit lainnya karena faktor massa dan jaraknya dari bumi, sehingga benda langit lainnya dapat diabaikan. Untuk menghilangkan perubahan nilai gayaberat akibat pengaruh benda-benda langit khususnya matahari dan bulan, maka data hasil pengukuran perlu dikenakan koreksi pasang surut bumi (Longman, 1959), dengan rumusan di bawah ini :

$$Tdc = \frac{3\pi r}{2} \left\{ \frac{2M}{3d^2} (\sin^2 p - 1) + \frac{Mr}{d^4} (5\cos^3 p - 1\cos p) + \frac{2S}{3D^3} (3\cos^2 q - 1) \right\} \dots\dots \quad (2.9)$$

dimana :

p = sudut zenit bulan

q = sudut zenit matahari

M = massa bulan

S = massa matahari

d = jarak antara pusat bumi dan bulan

D = jarak antara pusat bumi dan matahari

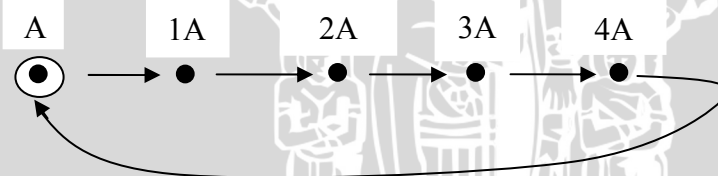
γ = konstanta gayaberat Newton

r = jarak pengukuran dari pusat bumi

2.2.6.3. Koreksi Drift

Pengukuran gayaberat yang dilakukan di suatu tempat yang kemudian diulang lagi pengukurannya maka secara teoritis nilainya akan tetap atau konstan. Pada kenyataannya, hal ini selalu diperoleh nilai pembacaan yang berbeda mengingat adanya pengaruh pasang surut diatas. Perbedaan ini, disamping dipengaruhi oleh kondisi pasang surut juga disebabkan karena pengaruh mekanisme alat, akibat goncangan selama transportasi yang disebut sebagai apungan (*drift*).

Dalam pelaksanaan pengukuran gayaberat, suatu lintasan pengukuran dimulai dari suatu titik acuan graviti (*gravity base station*), kemudian melakukan pengukuran dititik-titik pengamatan dan kembali ketitik acuan semula.



Gambar 2.2 Pengukuran titik-titik pengamatan gayaberat dalam suatu lintasan pengukuran.

Pada gambar diatas, pengukuran dimulai pada titik A yang dianggap sebagai titik acuan kemudian pengukuran dilanjutkan pada titik 1A, 2A, 3A, 4A dan kembali ketitik awal yaitu titik A. Pembacaan gayaberat pertama dititik A dengan pembacaan kedua dititik yang sama akan terdapat perbedaan dan perbedaan ini harus dihilangkan yang disebut sebagai koreksi drift. Koreksi drift dapat dirumuskan sebagai berikut :

$$Drift_{station} = \frac{G_{A2} - G_{A1}}{T_{A2} - T_{A1}} \times (T_{station} - T_{A1}) \quad \dots \dots \dots \quad (2.10)$$

Keterangan :

$Drift_{station}$	= Besarnya <i>drift</i> dititik pengamatan
$T_{station}$	= Waktu pembacaan dititik pengamatan
G_{A1} dan G_{A2}	= Pembacaan gayaberat ke-1 dan ke-2 dititik A
T_{A1} dan T_{A2}	= Waktu pembacaan ke-1 dan ke-2 dititik A

Dengan catatan bahwa harga pembacaan dititik-titik pengambilan data telah dikoreksi dengan koreksi tidal (Hadipandoyo, 2004).

2.2.6.4. Koreksi Udara Bebas (*Free Air Correction* /FAC)

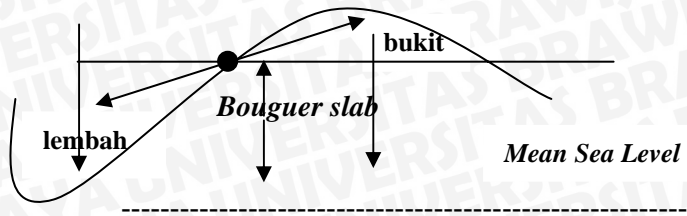
Koreksi udara bebas adalah perbedaan antara gayaberat yang diukur pada permukaan laut dengan yang diukur pada ketinggian h meter dengan ruang kosong atau tidak ada batuan diantaranya. Harga FAC positif di atas *mean sea level* dan negatif di bawah *mean sea level*. Harga koreksi udara bebas ditambahkan jika titik amat berada diatas bidang datum dan dikurangkan jika berada di bawah bidang datum. Nilai percepatan gayaberat di permukaan bumi adalah g_{fa} , maka koreksi udara bebas sebesar:

$$g_{fac} = -0,3086 \times 10^{-5} h \quad \dots \dots \dots \quad (2.11)$$

dimana h merupakan ketinggian diatas permukaan laut. Untuk satuan dalam SI, g_{fac} dalam m/det², h dalam m dan dalam satuan CGS, g_{fac} dalam Gal, h dalam cm (Blakely, 1995).

2.2.6.5. Koreksi Medan (*Terrain Correction*)

Kondisi topografi disekitar titik pengamatan terkadang tidak beraturan seperti adanya lembah atau bukit yang juga mempengaruhi nilai gayaberat dititik pengamatan. Bukit mempunyai efek yaitu memperkecil percepatan gayaberat. Karena itu koreksi terrain untuk bukit ini harus ditambahkan (dalam *Bouguer slab*), yang berarti bahwa adanya lembah disekitar titik pengamatan dianggap mempunyai massa batuan.



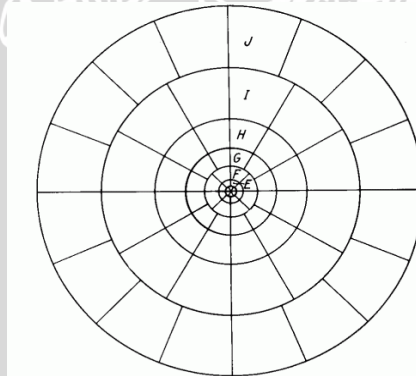
Gambar 2.3 Effek terrain dari bukit atau lembah disekitar titik pengamatan

Karena efek ini telah terkurangkan pada saat koreksi Bouguer, maka koreksi terrain untuk lembah harus ditambahkan untuk mengembalikan efek Bouguer tersebut. Secara topografi dapat diambil bentuk silindris konsentris yang terbagi menjadi zona-zona dan kompartemen dengan ketinggian yang berbeda-beda dan dituliskan dalam bentuk rumus dibawah ini :

$$TC = 2\pi\gamma\rho \left[R_2 - R_1 + \sqrt{(R_1^2 + \Delta h^2)} - \sqrt{(R_2^2 + \Delta h^2)} \right] \quad \dots \dots \quad (2.12)$$

Keterangan :
R₁ : radius bagian dalam dalam suatu zona
R₂ : radius bagian luar dalam suatu zona
Δh : Beda ketinggian dari titik pengamatan

Dalam pelaksanaan perhitungan koreksi ini, maka digunakan *hammer chart* yang transparan seperti pada Gambar 2.4. *Hammert chart* membagi daerah titik pengamatan atas zona-zona dan kompartemen yang merupakan bagian dari silinder konsentris.



Gambar 2.4 Hammer chart (Hadipandoyo,2004)

2.2.6.6. Koreksi Bouguer (*Bouguer Correction*)

Koreksi Bouguer digunakan untuk menghitung kelebihan tarikan gayaberat yang disebabkan oleh ketebalan batuan tertentu dengan densitas batuan rata-rata (ρ) gr/cm³ (Untoro, 2005).

Dalam koreksi udara bebas dan gayaberat normal, massa batuan diantara titik amat dan bidang datum diabaikan. Pada keadaan yang sebenarnya tentunya massa dibawah titik pengukuran harus dipertimbangkan. Jadi koreksi Bouguer tergantung pada ketinggian titik amat dari bidang datum dan rapat massa batuan antara titik amat dan bidang amat (Kearey and Brooks, 1984). Besarnya koreksi Bouguer adalah (Nettleton, 1976) :

$$\begin{aligned} BC &= 0,04193 \rho h \text{ mGal/m atau} \\ &= 0,01237 \rho h \text{ mGal/ft} \end{aligned} \quad \dots \dots \dots \quad (2.13)$$

dimana :

ρ = rapat massa Bouguer

h = ketinggian titik pengukuran dari bidang sferoid

Pengukuran diatas *mean sea level*, BC dikurangkan (-) dan ditambahkan (+) dibawah *mean sea level*. Rumusan ini berlaku dengan asumsi bahwa bidang Bouguer merupakan plat datar tidak terhingga. Grant dan West (1965) mendefinisikan bahwa massa yang terletak antara permukaan topografi dan bidang sferoida dapat dibagi menjadi 2 bagian,yaitu :

1. Bagian massa yang terletak antara bidang Bouguer dan sferoida referensi dimana efek dari massa ini disebut efek Bouguer. Anomali yang dihasilkan setelah dilakukan koreksi Bouguer terhadap anomali udara bebas disebut anomali Bouguer sederhana.
2. Bagian massa yang berada diatas bidang Bouguer dan bagian massa yang hilang dibawah Bouguer menghasilkan efek yang disebut efek medan (*terrain effect*). Anomali yang dihasilkan setelah dilakukan koreksi medan terhadap anomali Bouguer sederhana disebut anomali Bouguer lengkap.

Pada koreksi Bouguer dan koreksi terrain ada satu nilai yang belum diketahui yaitu densitas Bouguer yang merupakan densitas rata-rata untuk seluruh massa di bawah permukaan. Densitas batuan dipengaruhi beberapa faktor diantaranya adalah rapat massa butir penyusunnya, porositas, kandungan fluida yang mengisi pori-porinya, serta pemanjangan akibat

tekanan dan pelapukan yang dialami batuan tersebut. Metode penelitian densitas lapisan permukaan kerak bumi (densitas Bouguer) :

1. Densitas Bouguer standar = 2670 kg/m^3 sebagai rata-rata densitas kerak bumi.
2. Pengukuran langsung seperti pengumpulan contoh batuan baik dari permukaan maupun dari sumur bor.
3. Dari peta geologi untuk mendapatkan jenis batuan, kemudian dilihat nilai densitasnya pada tabel densitas batuan.
4. Profil densitas (dengan menggunakan metode Nettleton):
 - a. Secara grafis yaitu dengan membuat profil topografi dan profil anomali Bouguer untuk densitas yang berbeda-beda tiap lintasan yang dipilih. Harga densitas yang anomali Bouguernya memiliki korelasi paling minimum dengan profil topografi.
 - b. Secara analitik, yaitu dengan menggunakan persamaan matematis untuk menghitung koefisien korelasi dari semua data pengukuran. Cara ini sangat baik karena memasukkan semua data pengukuran gayaberat sehingga menjadi korelasi silang dua dimensi (Suyanto dan Kirbani, 1999).
5. Metode Parasnis berasumsi bahwa tidak ada korelasi antara topografi dengan densitas permukaan sehingga anomali tersebar secara acak bersamaan dengan ketinggian. Hal ini menyebabkan korelasi antara topografi dan g akan mengacu pada lapisan Bouguer. Dengan mengeplot harga $\Delta g_{obs} + 0,3086h$ pada sumbu X terhadap harga $(-0,04193h + TC)$ pada sumbu Y dimana TC adalah koreksi medan, kemudian dicari persamaan garis regresinya melalui titik nol, maka harga koefisien kemiringan akan mendekati harga ρ (Parasnus, 1986).

2.2.6.7. Anomali Bouguer

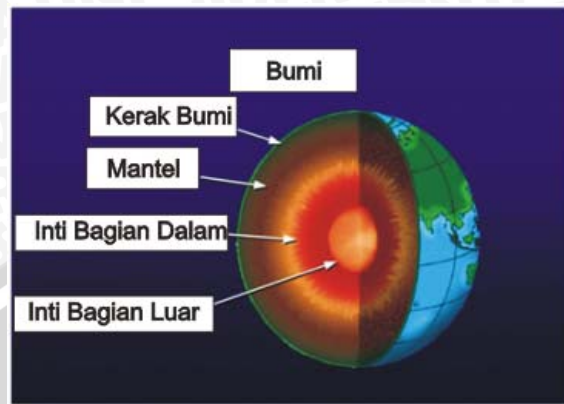
Anomali Bouguer merupakan suatu pemaparan dari gayaberat yang paling umum untuk memperkirakan gambaran kondisi bawah permukaan berdasarkan kontras rapat massa batuan. Dengan demikian nilai anomali Bouguer dapat dirumuskan sebagai berikut:

$$BA = G_{sta} - (G_\Phi + FAC + BC) + TC \quad \dots \dots \dots \quad (2.14)$$

Nilai anomali yang diperoleh adalah nilai anomali pada ketinggian suatu titik amat. Pentingnya MSL sebagai bidang datum hanyalah sebagai batas bahwa semua massa di bawah MSL mempengaruhi nilai anomali

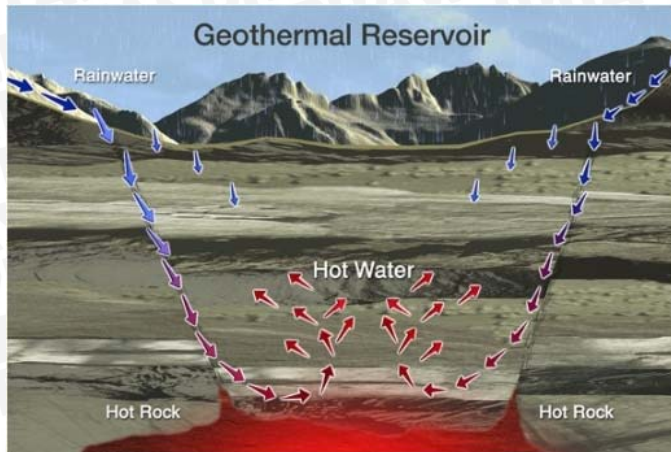
Bouguer, sedangkan untuk massa di atas MSL hanya terdeviasi dari keadaan ideal (Moh. Untung, 2001).

2.3. Panasbumi



Gambar 2.5 Lapisan bumi (www.taman.blogspot.com)

Secara bahasa, kata *geothermal* terdiri dari dua suku kata yaitu *geo* yang berarti bumi dan *thermal* yang berarti panas. Jadi istilah *geothermal* sama dengan panasbumi. *Geothermal* dapat diartikan sebagai energi panas yang terbentuk secara alami dibawah permukaan bumi. Dari gambar 2.5, terlihat bahwa bagian kerak bumi (*crust*) merupakan lapisan terluar yang keras, padat dan tersusun dari batuan yang mampu menahan aliran panas dari bawah permukaan bumi. Sedangkan mantel bumi (*mantle*) merupakan lapisan yang semi-cair atau berupa batuan yang meleleh atau sedang mengalami perubahan fisik akibat pengaruh tekanan dan temperatur tinggi disekitarnya. Sedangkan bagian luar dari inti bumi (*outer core*) berbentuk *liquid* dan lapisan terdalam dari inti bumi (*inner core*) berwujud padat (www.taman.blogspot.com).



Gambar 2.6 Reservoar panasbumi (www.taman.blogsome.com)

Ketika sampai di permukaan bumi, maka air hujan akan merembes ke dalam tanah melalui saluran pori-pori atau rongga-rongga diantara butiran batuan. Bila jumlah air hujan yang turun cukup deras, maka air tersebut akan mengisi rongga-rongga antar butiran sampai penuh. Air hujan yang masuk ke tanah disebut air tanah. Jika sudah tidak tertampung lagi, maka air hujan yang masih diperlakukan akan mengalir ke tempat yang lebih rendah yang disebut dengan air permukaan.

Di daerah gunungapi, dimana terdapat potensi panasbumi sering ditemukan struktur sesar (*fault*) dan kaldera (*caldera*) sebagai akibat dari letusan gunung berapi maupun aktifitas tektonik lainnya. Keberadaan struktur tersebut tidak sekedar membuka pori-pori atau rongga-rongga antar butiran menjadi lebih terbuka, bahkan bisa menciptakan zona rekanan (*fracture zone*) yang cukup lebar dan memanjang secara vertikal atau hampir vertical. Sehingga air tanah dapat dengan mudah menerobos turun ke tempat yang lebih dalam lagi sampai akhirnya tertampung pada batuan panas. Air tersebut tidak bisa turun ke bawah sehingga air mencari jalan dalam arah horizontal ke lapisan batuan yang masih bisa diisi oleh air. Seiring dengan berjalanannya waktu, air tersebut terus terakumulasi dan terpanaskan oleh batuan panas. Akibatnya temperatur air meningkat, volume bertambah dan tekanan menjadi naik. Sebagiannya masih tetap berwujud air panas, namun sebagian lainnya telah berubah menjadi uap panas.

Tekanan yang terus meningkat, membuat fluida panas tersebut menekan batuan panas yang melingkupinya sambil mencari jalan terobosan

untuk melepaskan tekanan tinggi. Jika fluida tersebut menemukan celah yang bisa menuju permukaan bumi, maka akan dijumpai sejumlah manifestasi panasbumi. Namun bila celah itu tidak tersedia, maka fluida panas itu akan tetap berada di dalam reservoir panasbumi (*geothermal reservoir*). Sementara lapisan batuan dibagian atasnya dinamakan batuan penutup (*cap rock*) yang bersifat impermeabel atau sangat sulit ditembus oleh fluida (www.taman.blogspot.com).



BAB III METODE PENELITIAN

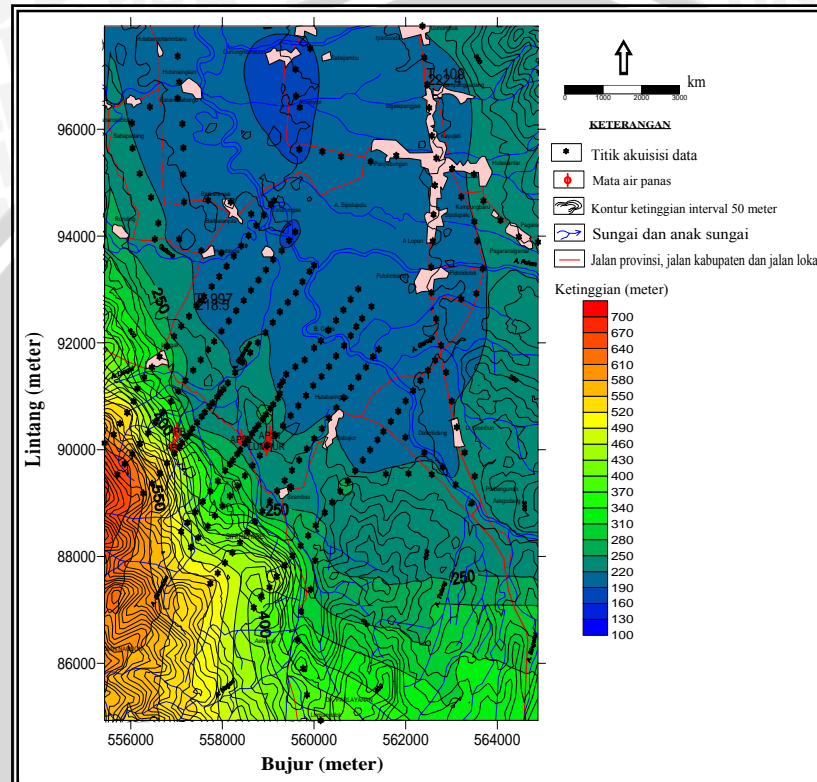
3.1. Tempat dan Waktu Penelitian

Data yang digunakan dalam penelitian skripsi ini adalah data sekunder dari Pusat Sumber Daya Geologi Bandung, Departemen Energi dan Sumber Daya Mineral (ESDM), Bagian Panasbumi dan Mineral, Bandung, yang diambil pada tanggal 23 – 27 Januari 2009. Pengukuran data primer dilakukan oleh tim survei bagian Panasbumi ESDM di daerah Sampuraga, Kabupaten Mandailing Natal, Sumatera Utara pada tanggal 17 – 31 Juli 2007. Secara administratif, daerah panasbumi Sampuraga berada di Kecamatan Panyabungan Barat, Kabupaten Mandailing Natal, Sumatera Utara. Luas daerah penyelidikan adalah $15 \times 15 \text{ km}^2$ yang berada pada koordinat 552500-565000 (meter) BT dan 84000-97000 (meter) LU zona 47 bumi bagian utara.



Gambar 3.1 Peta daerah panasbumi Sampuraga, Kecamatan Panyabungan Barat, Kabupaten Mandailing Natal – Sumatera Utara (Kastowo, 1996).

Pengambilan data dilakukan dengan menggunakan alat gravimeter *La Coste Romberg type G-802*. Lintasan pengambilan data terdiri dari lintasan A, B, C, D, E, F dan G sebanyak 189 titik pengambilan data. Pada lintasan regional terdapat 74 titik ukur, sehingga jumlah titik pengambilan data terdapat 263 titik. Pada satu lintasan pengukuran, interval pengambilan titik adalah 250-500 m. Pada lintasan regional interval pengambilan titik adalah 500-1000 m sedangkan interval pengambilan titik pada daerah manifestasi panas bumi berkisar antara 100-150 m. Letak titik pengukuran data yang dikorelasikan dengan kontur ketinggian di daerah Sampuraga, dapat dilihat pada gambar 3.2.



Gambar 3.2 Titik akuisisi data yang dikorelasikan dengan kontur ketinggian.

3.2. Tahapan Penelitian

Pada penelitian ini yang dianalisa adalah data sekunder berupa data gayaberat, geologi daerah penelitian, anomali gayaberat dan kontras densitasnya.

Data sekunder yang diproses untuk mendapatkan nilai gayaberat antara lain: letak koordinat titik pengambilan data (bujur dan lintang), pembacaan gravimeter, waktu pengambilan data, ketinggian titik ukur, koreksi pasang surut dan nilai koreksi medan. Kemudian data diolah dengan melakukan beberapa tahapan untuk mendapatkan nilai anomali Bouguer, anomali sisa dan kontras densitas bawah permukaan.

Pengolahan data dilakukan dengan menggunakan program MS. Excel. Setelah diperoleh nilai anomali Bouguer kemudian data diolah menggunakan program Surfer 8 untuk mendapatkan kontur anomali Bouguer dan kontur anomali sisa. Hasil yang diperoleh kemudian dibandingkan dengan peta geologi daerah panasbumi Sampuraga dan sekitarnya sehingga pada akhirnya dapat dilakukan pemodelan untuk mengetahui struktur geologi bawah permukaan dengan menggunakan program GRAV2DC.

3.3. Data Penelitian

Data sekunder yang digunakan dalam penelitian ini adalah:

1. Waktu dan tanggal pengambilan data.
2. Letak koordinat titik pengamatan (*latitude* dan *longitude*).
3. Pembacaan gravimeter.
4. Koreksi pasang surut (*tidal correction*).
5. Ketinggian titik pengamatan.
6. Koreksi medan.

3.4. Peralatan Penelitian

Dalam penelitian ini peralatan yang digunakan adalah:

1. Tabel konversi pembacaan alat Gravimeter *La Coste Romberg* tipe G-802.
2. Perangkat Komputer dengan instalasi *software* MS. Word, MS. Excel, MapInfo, Surfer 8, dan GRAV2DC.

3.5. Prosedur Pelaksanaan Penelitian

Penelitian ini terdiri dari empat tahapan, yaitu:

3.5.1. Pengolahan Data

Pada tahap pengolahan, data yang didapat dari hasil akuisisi lapangan terlebih dahulu dilakukan konversi nilai pembacaan ke dalam satuan mGal. Setelah itu dilakukan beberapa koreksi antara lain koreksi pasang-surut, koreksi apungan, gayaberat terkoreksi, gayaberat pengukuran, gayaberat normal, koreksi udara bebas, koreksi terrain dan koreksi Bouguer untuk mendapatkan nilai anomali Bouguer dan anomali sisa yang kemudian dikonturkan dengan menggunakan *software* Surfer 8 dan GRAV2DC.

3.5.2. Penggambaran Pola Anomali Bouguer dan Anomali Sisa

Nilai anomali Bouguer dan anomali sisa yang telah diolah, kemudian dilakukan penggambaran kontur dengan menggunakan program Surfer 8. Data masukan yang berjumlah 263 titik berupa letak lintang, letak bujur serta nilai anomali yang akan dikonturkan pada setiap titik pengukuran. Dari kontur anomali Bouguer dan anomali sisa, kemudian dilakukan pemodelan yang dibuat sepanjang lintasan tertentu. Dalam penelitian ini, dilakukan analisa pada dua buah penampang melintang anomali Bouguer dan anomali sisa yang masing-masing berarah melintang dari baratdaya sampai timurlaut.

Dalam melakukan penarikan garis penampang perlu diperhatikan bentuk dari konturnya atau pola anomalinya. Bentukan yang dipertimbangkan adalah berupa tinggian atau rendahan anomali, kerapatan kontur sehingga dapat diperkirakan pola struktur geologi bawah permukaan yang berupa suatu patahan, suatu intrusi atau berupa lipatan (*antiklin* atau *sinklin*). Dalam penentuan garis penampang harus berarah tegak lurus terhadap garis kontur, sehingga dapat diperkirakan pola struktur geologi dengan baik.

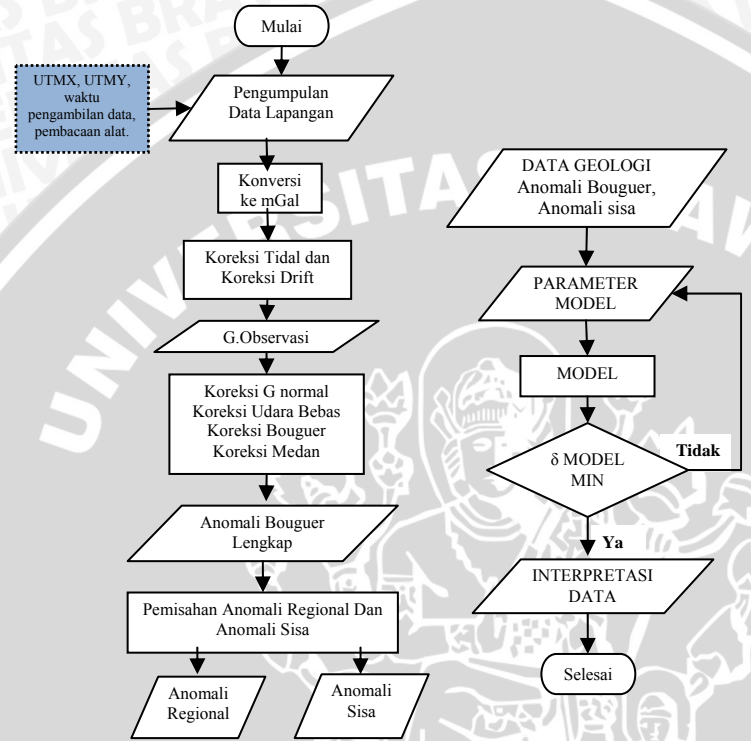
3.5.3. Pemodelan Geologi

Pada tahap pemodelan, data yang diolah berupa nilai anomali dan jarak lintasan pada penampang yang telah dibuat. Penarikan penampang anomali ini dapat menggunakan program Surfer 8. Nilai yang telah diperoleh berupa jarak dan anomali Bouguer merupakan data masukan untuk program GRAV2DC sebagai suatu penampang melintang anomali. Setelah model anomali tergambar, maka dapat dilakukan pemodelan struktur bawah permukaan dengan memasukkan nilai kontras densitas

batuan, ketebalan lapisan (kedalaman) batuan tertentu seperti yang terbaca pada peta geologi daerah setempat (Pedley, 1991).

3.5.4. Interpretasi Data

Interpretasi data dilakukan dengan melihat peta sebaran anomali Bouguer dan anomali sisa. Interpretasi pola anomali Bouguer dan anomali sisa dilakukan berdasarkan peta geologi daerah yang bersangkutan sehingga diperoleh gambaran benda bawah permukaan penyebab anomali yaitu struktur bawah permukaan di daerah panasbumi. Alur penelitian selengkapnya akan disajikan dalam bentuk diagram alir berikut ini:



Gambar 3.3 Diagram alir penelitian

(halaman ini sengaja dikosongkan)

UNIVERSITAS BRAWIJAYA



BAB IV

HASIL DAN PEMBAHASAN

4.1. Pengolahan Data

Untuk mempermudah interpretasi data maka data hasil pengukuran lapangan harus diolah. Pengolahan data gayaberat dilakukan untuk mendapatkan nilai gayaberat dari satu titik pengambilan data yang disebabkan adanya massa batuan di bawah permukaan. Pengolahan data gayaberat dimulai dari pengolahan data hasil pengukuran lapangan hingga siap untuk diinterpretasikan yang meliputi beberapa tahapan antara lain :

4.1.1. Konversi ke Nilai mGal

Untuk mendapatkan nilai pembacaan dalam satuan mGal, maka nilai pembacaan dari gravimeter harus dikonversikan ke dalam nilai mGal dengan menggunakan tabel konversi dari gravimeter *LaCoste & Romberg* tipe G-802. Hal ini dilakukan karena nilai yang didapat dari pembacaan gravimeter belum memiliki satuan dan setiap model gravimeter memiliki tabel konversi yang sesuai dengan spesifikasi masing-masing alat.

4.1.2. Koreksi Pasang Surut (*Tidal Correction*)

Benda langit khususnya matahari dan bulan memiliki pengaruh yang cukup besar terhadap nilai gayaberat bumi. Untuk menghilangkan pengaruh dari benda langit tersebut maka data hasil pengukuran dikoreksi dengan menggunakan koreksi pasang surut. Pada saat melakukan pengambilan data di lapangan, nilai koreksi pasang surut terkecil adalah -0,0144 mGal dan nilai koreksi pasang surut terbesar adalah -0,0824 mGal.

4.1.3. Koreksi Drift (*Drift Correction*)

Pada saat pengambilan data di lapangan ada kemungkinan terjadi penyimpangan, guncangan pada alat dan pergeseran pembacaan titik nol. Maka untuk menghilangkan pengaruh tersebut dilakukan koreksi drift dengan mengulangi pembacaan pada titik ikat dalam satu lintasan, sehingga dapat diketahui penyimpangannya. Koreksi drift dipengaruhi oleh waktu pengambilan data di tiap titik, konversi nilai ke dalam mGal dan koreksi tidal.

4.1.4. Nilai Gayaberat Observasi (g_{obs})

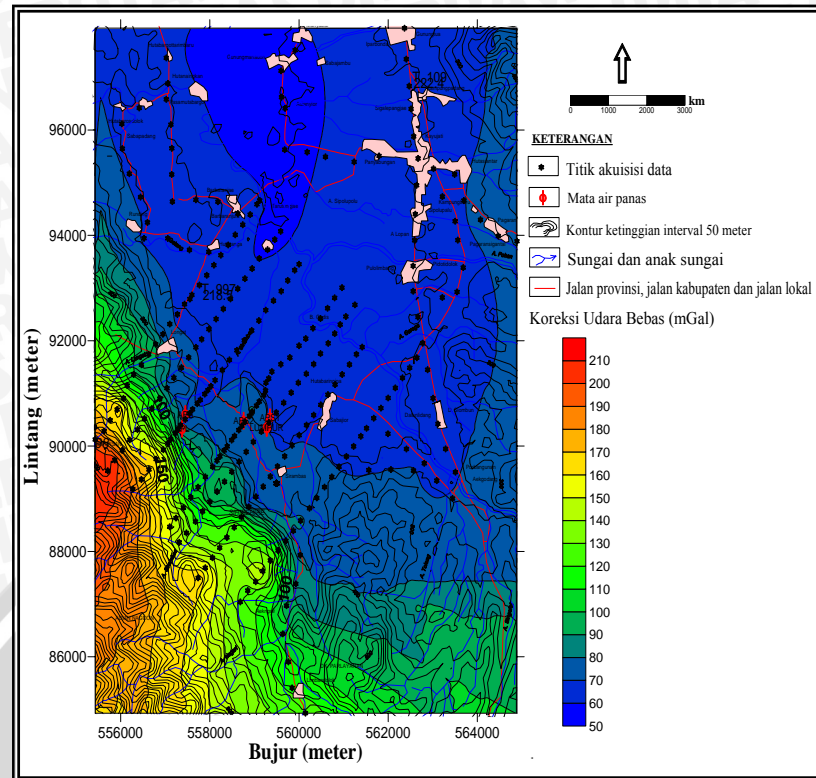
Nilai gayaberat observasi didapat dengan menjumlahkan nilai gayaberat terkoreksi dengan nilai beda gayaberat di tiap titik pengukuran. Nilai gayaberat terkoreksi merupakan penjumlahan dari nilai konversi data ke dalam mGal, koreksi tidal dan koreksi drift. Sedangkan nilai beda gayaberat diperoleh dari perbedaan nilai gayaberat tiap titik terhadap nilai gayaberat di titik awal (*base station*). Pada penelitian ini, nilai pengukuran diikatkan ke nilai gayaberat Internasional (IGSN 71) DG0 Bandung dengan nilai gayaberat pengamatan sebesar 977953,31 mGal dan titik awal berada pada koordinat 559496 (meter) BT dan 89292 (meter) LU.

4.1.5. Nilai Gayaberat Normal

Bumi yang berotasi mengakibatkan bentuk bumi tidak bulat sempurna tetapi agak pepat pada kedua kutubnya. Sehingga besarnya nilai gayaberat di kutub lebih besar daripada di katulistiwa, semakin ke kutub nilai gayaberat semakin bertambah besar. Oleh karena itu besar nilai gayaberat di suatu tempat sangat dipengaruhi oleh letak lintangnya. Pada pengukuran data di lapangan, nilai lintang dan bujur dicatat dalam satuan meter sehingga perlu dikonversi kedalam satuan derajat. Pengkonversian letak koordinat ini menggunakan program *software MapInfo Professional* 9.0. Untuk mendapatkan nilai gayaberat normal, nilai lintang dan bujur dihitung dengan menggunakan persamaan 2.7.

4.1.6. Koreksi Udara Bebas (*Free Air Correction*)

Perbedaan ketinggian yang bervariasi dari masing-masing titik pengamatan akan berpengaruh terhadap besarnya nilai gayaberat pada titik pengamatan tersebut. Karena nilai gayaberat berbanding terbalik dengan jarak, maka semakin tinggi tempat pengambilan data maka semakin kecil nilai gayaberatnya (Untung dan Sato, 1978).



Gambar 4.1 Kontur ketinggian yang dikorelasikan dengan kontur koreksi udara bebas (interval 10 mGal).

Dari gambar 4.1, terlihat bahwa semakin berwarna merah maka semakin tinggi letak daerah pengukuran dan semakin berwarna biru maka semakin rendah letak daerah pengukuran. Jika nilai koreksi udara bebas semakin besar maka nilai gayaberat di daerah tersebut semakin kecil dan begitupula sebaliknya. Hal ini dikarenakan nilai gayaberat berbanding terbalik dengan jarak.

4.1.7. Koreksi Medan

Salah satu faktor penting dalam pengolahan data gayaberat adalah penggunaan koreksi medan. Hal ini dikarenakan topografi atas permukaan bumi yang sangat beragam akibat adanya bukit dan lembah. Terdapatnya lembah dan bukit akan mengurangi nilai gayaberat di titik pengamatan yang diakibatkan karena pengaruh massa lembah dan bukit. Lembah dan bukit di

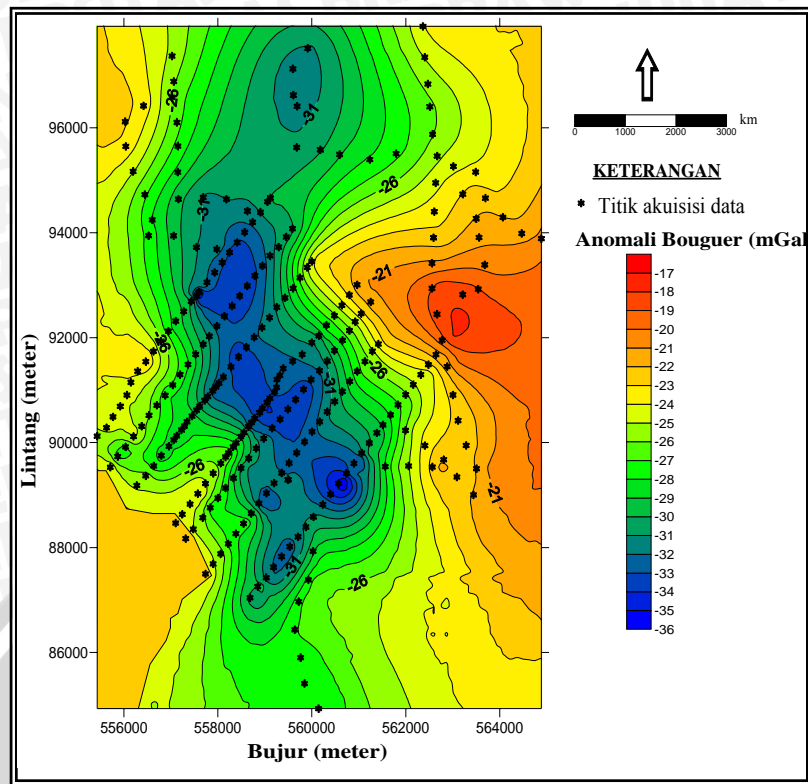
sekitar titik pengamatan menimbulkan efek yang mengurangi besar nilai gayaberat sebenarnya di titik pengamatan, sehingga koreksi medan yang diperhitungkan selalu berharga positif. Dalam penelitian ini, nilai koreksi medan dilakukan dengan cara pendekatan metode *hammert chart*.

4.1.8. Penentuan Densitas Batuan dan Koreksi Bouguer

Anomali yang dihasilkan setelah dilakukan koreksi Bouguer terhadap anomali udara bebas disebut anomali Bouguer. Sebelum dilakukan proses perhitungan anomali Bouguer, maka harus ditentukan harga densitas Bouguernya. Rapat massa Bouguer yang diperoleh untuk perhitungan anomali Bouguer merupakan rapat massa rata-rata untuk seluruh massa. Pada penelitian ini digunakan metode Parasnis dengan pertimbangan bahwa metode ini mudah dan cepat dalam menentukan nilai densitas. Nilai koreksi Bouguer didapat dari plot grafik regresi, dimana sumbu Y merupakan nilai dari ($\Delta g_{obs} + 0,3086h$) sedangkan sumbu X merupakan nilai dari ($0,04193h$) yang menghasilkan persamaan $y = 2,670x + 54.0$. Sehingga didapat nilai densitas Bouguer di daerah penelitian sebesar $2,67 \text{ gr/cm}^3$.

4.1.9. Nilai Anomali Bouguer

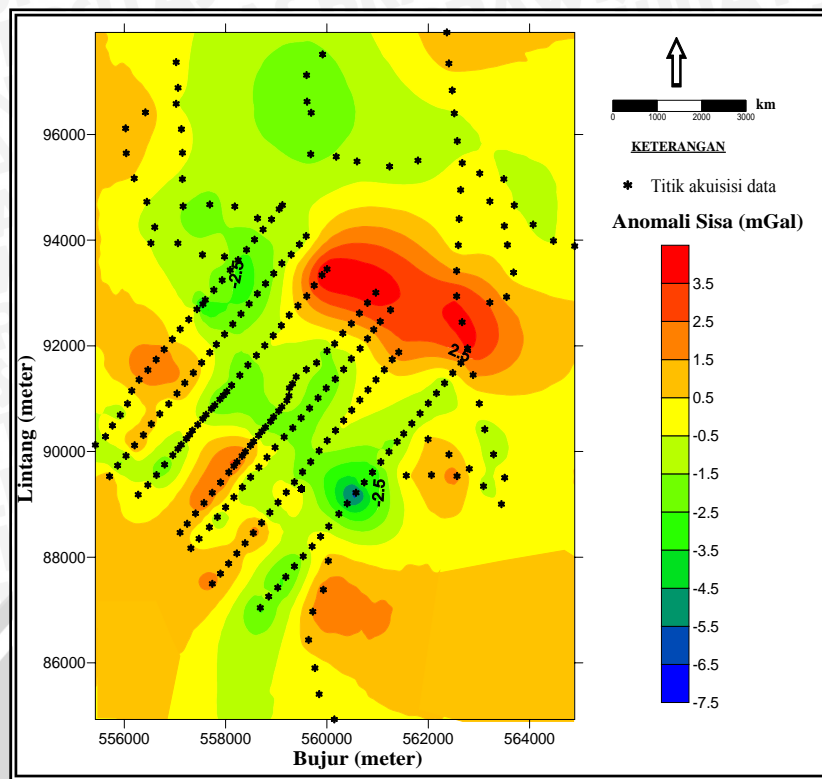
Anomali Bouguer merupakan nilai anomali gayaberat di suatu titik pengamatan yang dapat memperkirakan gambaran kondisi bawah permukaan berdasarkan kontras rapat massa batuan. Dalam perhitungannya, nilai anomali Bouguer dipengaruhi oleh nilai gayaberat observasi, nilai gayaberat normal, koreksi udara bebas, koreksi terrain dan koreksi Bouguer. Kemudian nilai anomali Bouguer dipetakan kedalam kontur dengan program Surfer 8 dengan data masukan berupa nilai lintang, bujur dan anomali Bouguer dari setiap titik pengamatan. Hasil tampilan dari kontur anomali Bouguer ditunjukkan pada gambar 4.2.



Gambar 4.2 Kontur anomali Bouguer (interval 1 mGal).

4.1.10. Pemisahan Anomali Regional dan Anomali Sisa

Anomali Bouguer merupakan gabungan antara anomali regional dan anomali sisa. Interpretasi dilakukan terhadap anomali sisa sehingga anomali sisa harus dipisahkan dari anomali regional. Anomali sisa menunjukkan adanya sebuah struktur yang lebih dangkal, misalnya patahan. Proses pemisahan anomali sisa dalam penelitian ini dilakukan dengan menggunakan program Surfer8 dengan data masukan berupa nilai lintang, bujur dan anomali sisa dari setiap titik pengamatan. Hasil tampilan dari kontur anomali sisa ditunjukkan pada gambar 4.3.



Gambar 4.3 Kontur anomali sisa (Interval 1 mGal).

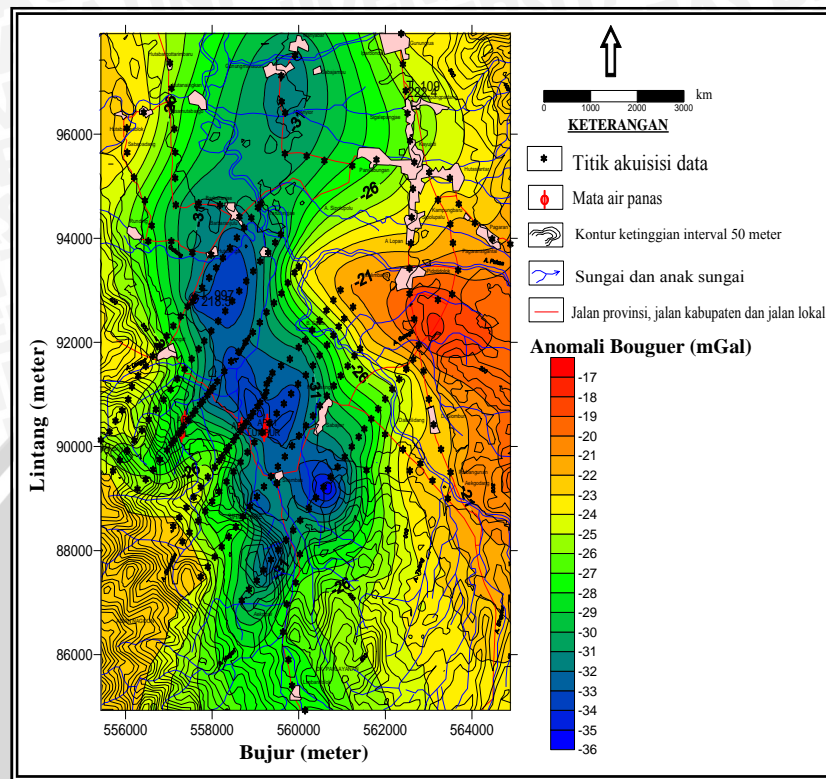
4.2. Interpretasi Data

Anomali Bouguer digunakan untuk memperkirakan struktur geologi bawah permukaan di daerah penelitian. Anomali Bouguer merupakan superposisi dari anomali-anomali yang ditimbulkan oleh struktur geologi dalam dan dangkal bawah permukaan. Anomali regional dapat memberikan gambaran tentang struktur bawah permukaan yang bersifat halus dan biasanya disebabkan oleh batuan yang dalam. Anomali sisa dapat memberikan informasi tentang struktur bawah permukaan yang bersifat kasar dan disebabkan oleh batuan yang dangkal.

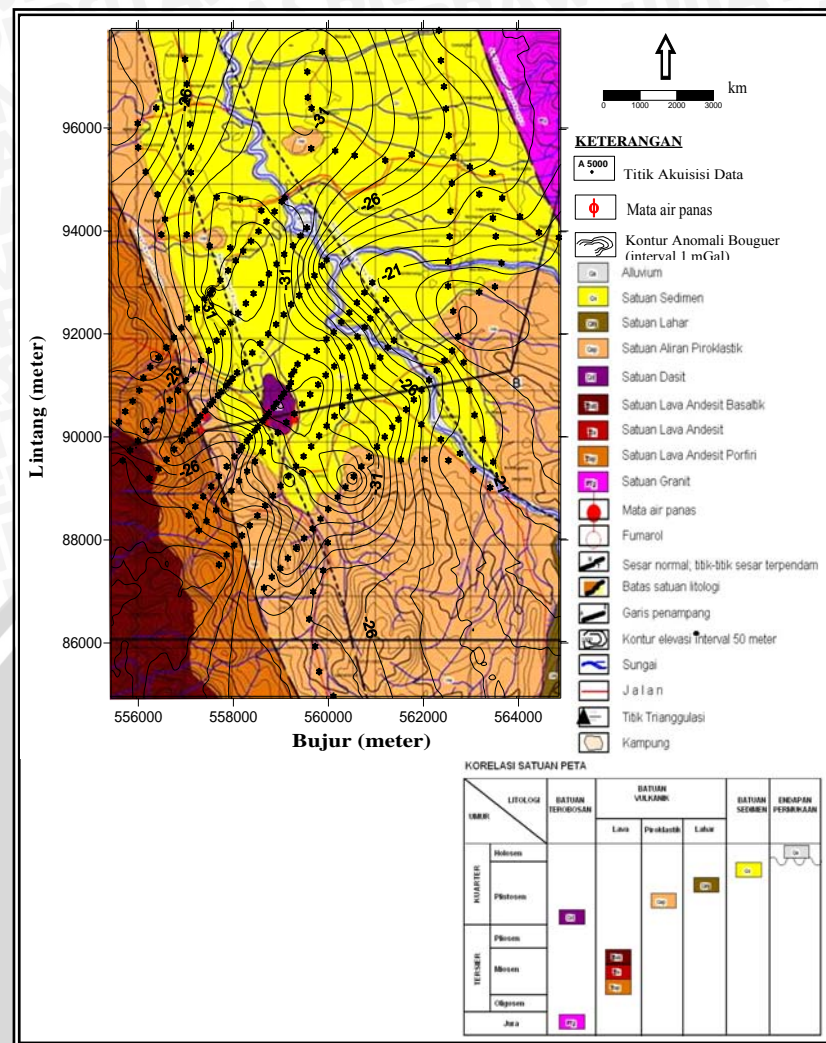
4.2.1. Interpretasi Kualitatif Anomali Bouguer dan Anomali Sisa

Interpretasi kualitatif dilakukan dengan cara membaca pola anomali gayaberat yang kemudian dihubungkan dengan peta geologi daerah panasbumi Sampuraga sehingga dapat memberikan gambaran struktur

geologi bawah permukaan daerah penelitian. Gambaran umum yang dihasilkan dari pengindikasian ini hanya berupa bentuk-bentuk struktur geologi tertentu dan belum menyangkut ukuran atau besaran geologi.



Gambar 4.4 Kontur ketinggian yang dikorelasikan dengan kontur anomali Bouguer (interval 1 mGal).



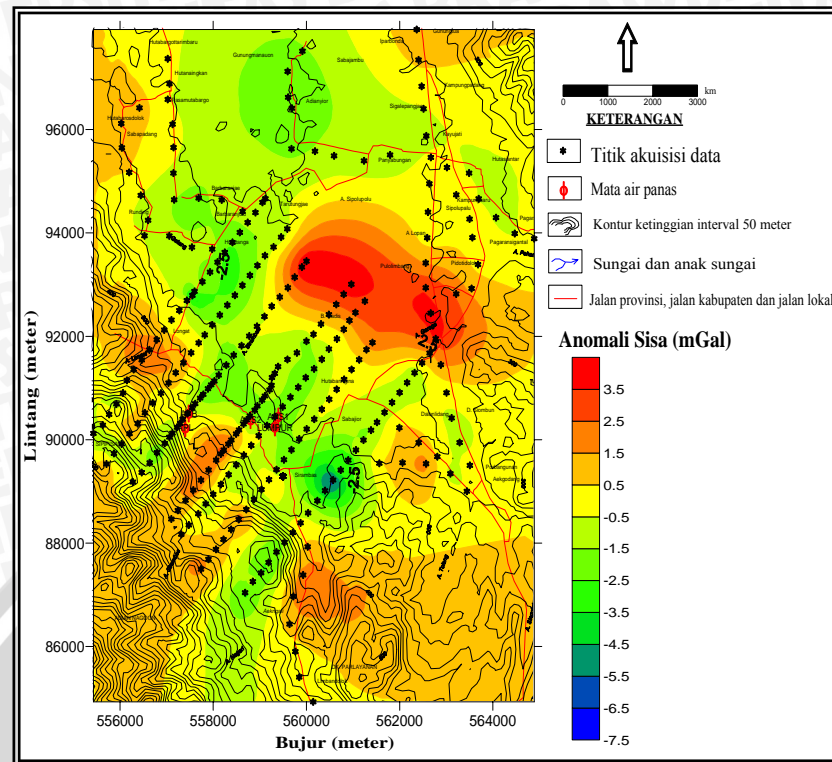
Gambar 4.5 Peta geologi yang dikorelasi dengan kontur anomali Bouguer.

Dari gambar 4.4, terlihat sebaran anomali Bouguer di daerah penelitian yang berkisar antara -36 mGal sampai -17 mGal. Kontur anomali Bouguer memperlihatkan adanya arah kelurusan baratlaut sampai tenggara. Kelurusan yang diperlihatkan dari hasil sebaran anomali Bouguer merupakan kelurusan yang cukup panjang dan diperkirakan memotong daerah manifestasi panas bumi Sampuraga. Adanya kelurusan ini juga menimbulkan adanya struktur graben dengan arah yang sejurus dengan

kelurusan. Kontur memanjang membentuk pola cekungan yang nilainya berkisar antara -36 mGal sampai -32 mGal yang kemungkinan besar merupakan indikasi dari adanya struktur graben. Garis-garis kontur dengan kerapatan tinggi berada di bagian baratdaya yang menggambarkan kontras rapat massa batuan yang relatif tinggi. Hal ini diakibatkan adanya sesar di daerah tersebut, sedangkan garis kontur yang renggang berada di bagian utara yang menggambarkan kontras rapat massa batuan yang relatif kecil akibat adanya perlapisan batuan dengan kemiringan yang landai.

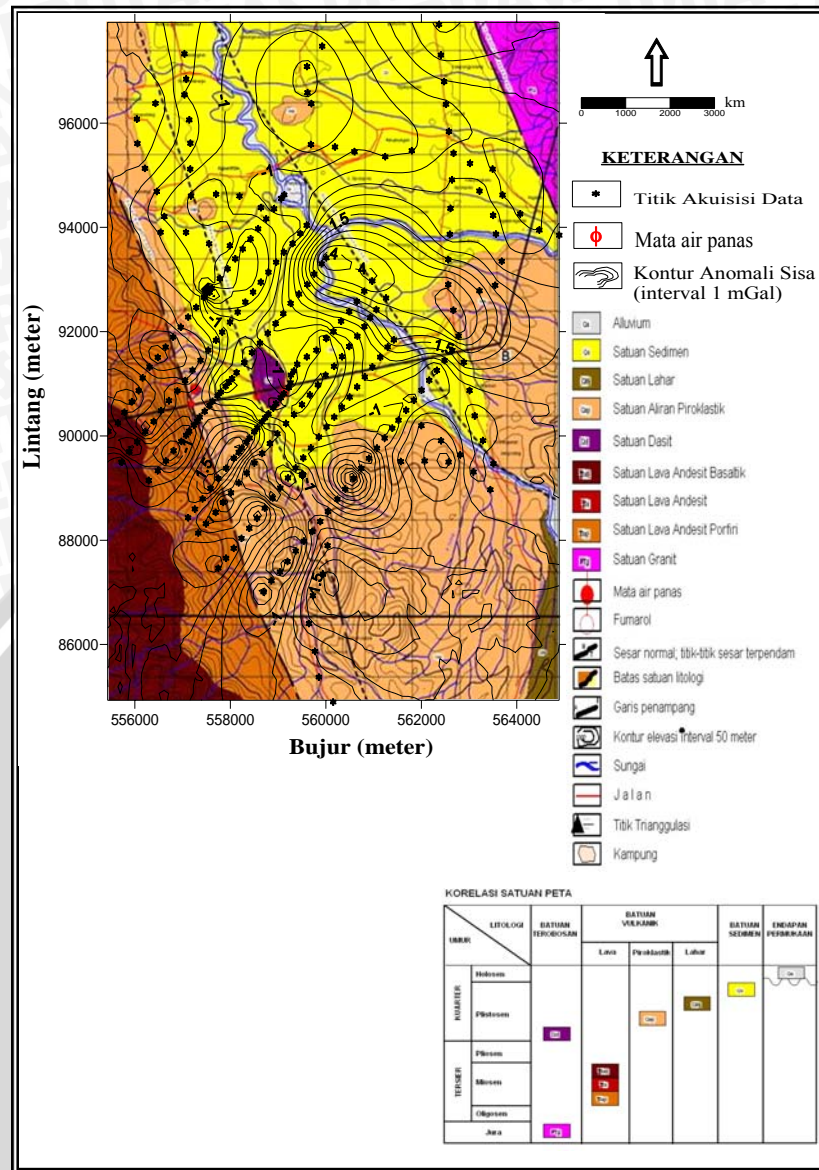
Pada gambar kontur anomali Bouguer yang dikorelasikan dengan peta geologi daerah panasbumi Sampuraga (Gambar 4.5), terlihat bahwa kelurusan pola anomali Bouguer searah dengan struktur sesar yang melintasi daerah tersebut. Pola anomali Bouguer rendah dapat diindikasikan karena adanya batuan yang mengisi zona depresi atau zona lemah dengan nilai kontras densitas yang lebih rendah jika dibandingkan dengan nilai densitas batuan sekitarnya. Batuan yang sudah mengalami alterasi akibat *hydrothermal* di daerah tersebut dapat dijadikan sebagai jalan keluar bagi fluida-fluida panasbumi ke permukaan. Dari data geologi, tempat kemunculan manifestasi panasbumi yang berupa mata air panas disebabkan oleh adanya terobosan dari batuan dasit. Batuan dasit merupakan batuan terobosan yang mengalami alterasi atau terubahkan oleh panasbumi. Kemunculan batuan terobosan ini ke permukaan merupakan indikasi awal bahwa batuan penyusun bawah permukaan pada daerah tersebut sudah mengalami perubahan permeabilitas.





Gambar 4.6 Kontur ketinggian yang dikorelasikan dengan kontur anomali sisa (interval 1 mGal).

Dari gambar 4.6, terlihat sebaran anomali sisa di daerah penelitian yang berkisar antara -35 mGal sampai -7,5 mGal. Arah penyebaran anomali sisa searah dengan kelurusian anomali Bouguer dan struktur besar. Nilai anomali sisa sangat kecil karena besar nilainya merupakan efek dari fenomena geologi permukaan. Pada gambar terlihat pola kontur melingkar di bagian tengah yang berarah barat laut sampai tenggara dengan nilai anomali mulai -5,5 mGal sampai -2,5 mGal. Pola kontur melingkar dengan pola cembung dengan nilai anomali tinggi berkisar antara 0,5 mGal sampai 3,5 mGal di bagian pinggir yang berarah barat laut sampai tenggara yang berada di daerah perbukitan berlereng terjal sampai perbukitan bergelombang.



Gambar 4.7 Peta geologi yang dikorelasi dengan kontur anomali sisa.

Dari kontur anomali sisa, terlihat kontras densitas yang cukup besar yang disebabkan adanya batuan yang sudah teraltermasih oleh panasbumi. Anomali sisa positif dapat disebabkan oleh adanya intrusi batuan andesit

dan diperkirakan merupakan sumber panas (*heat source*) dari sistem panasbumi Sampuraga. Sedangkan anomali sisa negatif mengindikasikan bahwa batuan dasit di daerah tersebut telah teralterasi oleh sistem panasbumi di daerah penelitian. Anomali sisa menggambarkan struktur dangkal akibat bentuk atas permukaan yang berhubungan dengan geologi daerah penelitian. Dari gambar 4.7 menunjukkan bahwa batuan terobosan yang berupa batuan dasit terlihat pada lokasi-lokasi yang berpola anomali cembung.

4.2.2. Interpretasi Kuantitatif Anomali Bouguer dan Anomali Sisa

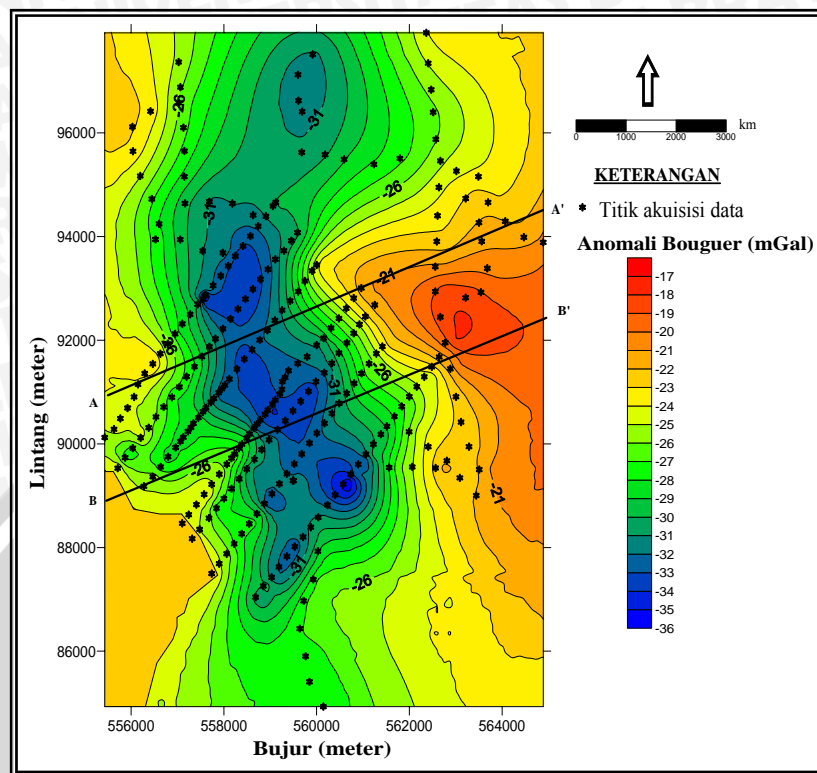
Pembuatan pemodelan struktur bawah permukaan dilakukan dengan menggunakan program GRAV2DC yang dibuat oleh G.R.J. Cooper. Interpretasi kuantitatif dilakukan dengan cara menganalisa penampang pola anomali Bouguer dan anomali sisa sepanjang suatu lintasan tertentu yang telah ditentukan. Dalam penelitian ini, penulis meneliti dua penampang anomali yaitu penampang AA' dan BB'. Data masukan program GRAV2DC berupa nilai jarak lintasan (meter) dan nilai anomali pengamatan. Bentuk model tersebut tergambar sebagai anomali pengamatan, sedangkan penampang hasil pemodelan geologi digambarkan sebagai anomali perhitungan. Prinsip kerja dari program GRAV2DC adalah menyamakan bentukan dari anomali pengamatan (yang berupa garis putus-putus) dengan anomali perhitungan (yang berupa garis tegas).

Interpretasi kuantitatif dilakukan berdasarkan hasil penafsiran kualitatif sehingga dapat menentukan bagian-bagian penampang anomali yang menarik untuk diperkirakan struktur geologi bawah permukaannya. Namun dalam interpretasi kuantitatif terdapat ambiguitas karena beragam model dapat dihasilkan karena adanya parameter rapat massa, geometri dan kedalaman yang tidak pasti. Sehingga diperlukan data pendukung berupa data geologi daerah penelitian, data bor, data rapat massa batuan dan data geofisika lainnya.

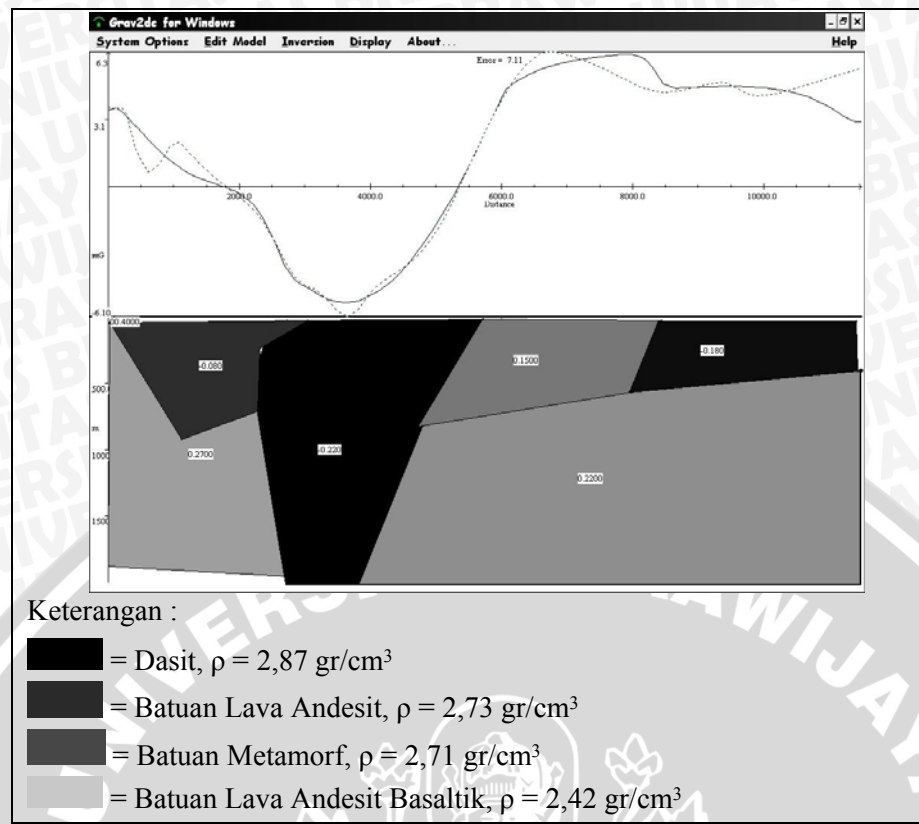
4.2.2.1. Interpretasi Kuantitatif Penampang Melintang Anomali Bouguer AA' dan BB'

Penampang melintang anomali Bouguer lintasan AA' dan BB' diambil berdasarkan hasil penafsiran kualitatif pola kontur anomali Bouguer, dimana pada penampang AA' memotong beberapa tinggian dan rendahan anomali dengan nilai terendah yaitu -33,79 mGal dan nilai tertinggi yaitu -21,45 mGal. Sedangkan pada penampang BB' nilai anomali terendah yaitu -34,04 mGal dan nilai anomali tertinggi yaitu -18,14 mGal.

Lokasi penampang anomali Bouguer AA' dan BB' dapat dilihat pada gambar berikut:



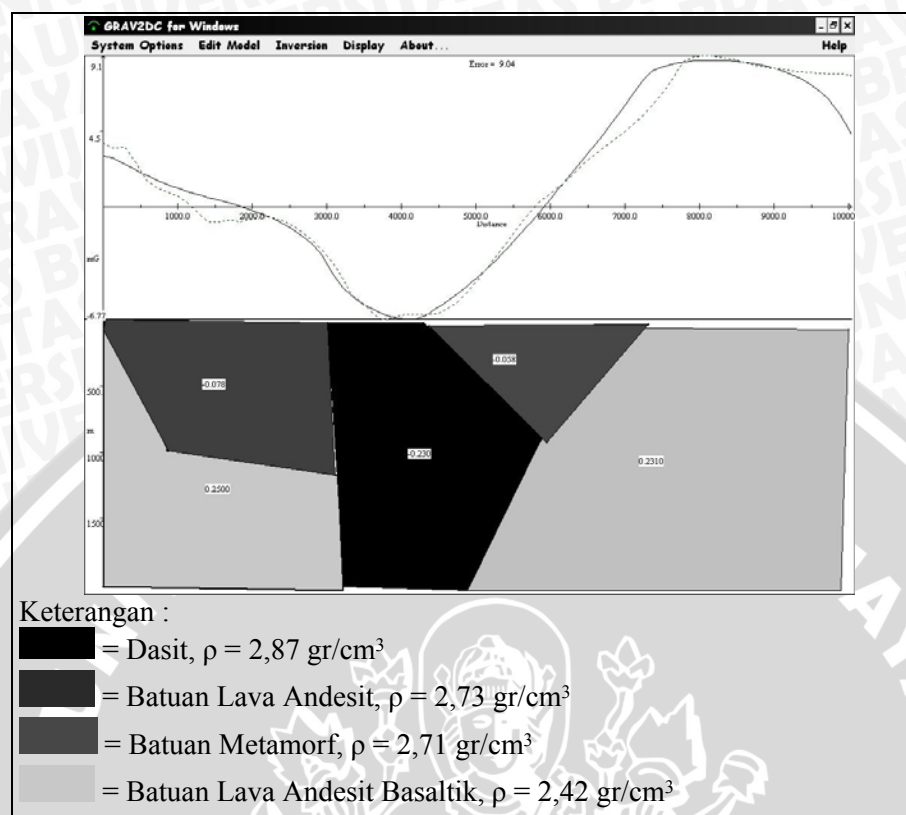
Gambar 4.8 Anomali Bouguer dengan model dua lintasan.



Gambar 4.9 Model penampang melintang anomali Bouguer AA'.

Penampang melintang anomali Bouguer lintasan AA' memperlihatkan bentuk model berupa pola tinggian dan rendahan. Dimana pada sumbu Y positif merupakan nilai anomali pengamatan (dalam mGal), sumbu Y negatif merupakan kedalaman (yang mencapai 2000m) sedangkan sumbu X merupakan nilai jarak lintasan (dalam meter). Pola rendahan membentang sepanjang 2 km sampai 5 km ke arah timurlaut sedangkan pola anomali tinggian membentang dari jarak 6 km sampai 12 km ke arah timurlaut. Pola rendahan ini bisa disebabkan oleh adanya intrusi batuan dasit yang menerobos kerak granitik sampai lapisan vulkanik. Selain itu pada jarak 2 km sampai 5 km ke arah timurlaut juga bisa diindikasikan sebagai gambaran dari bentukan struktur graben. Hal ini akibat dari adanya rekahan batuan akibat alterasi oleh panasbumi. Adanya struktur graben di daerah tersebut menyebabkan nilai anomali rendah. Semakin ke arah timur

laut diindikasikan adanya sesar-sesar naik yang terlihat dengan nilai anomali Bouguer yang semakin meningkat.

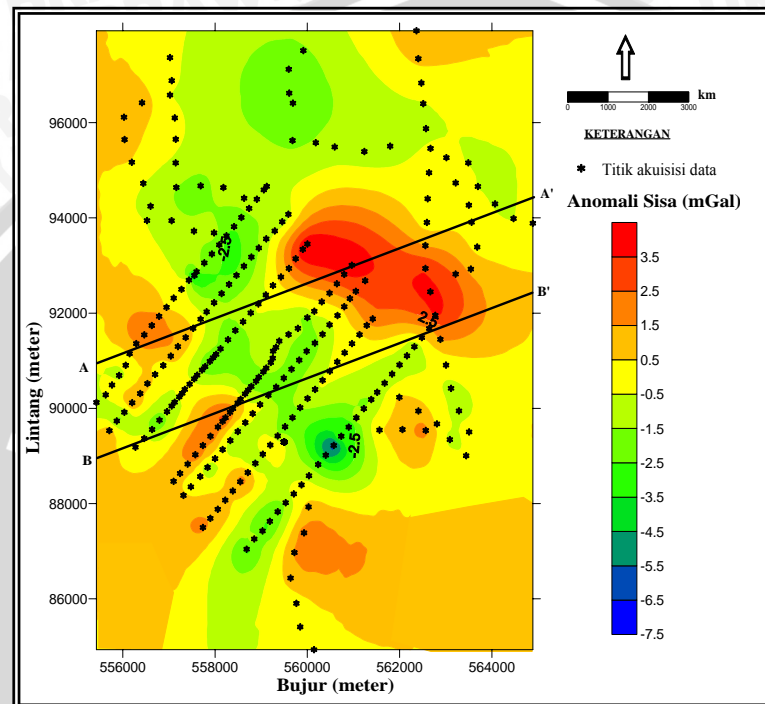


Gambar 4.10 Model penampang melintang anomali Bouguer BB'.

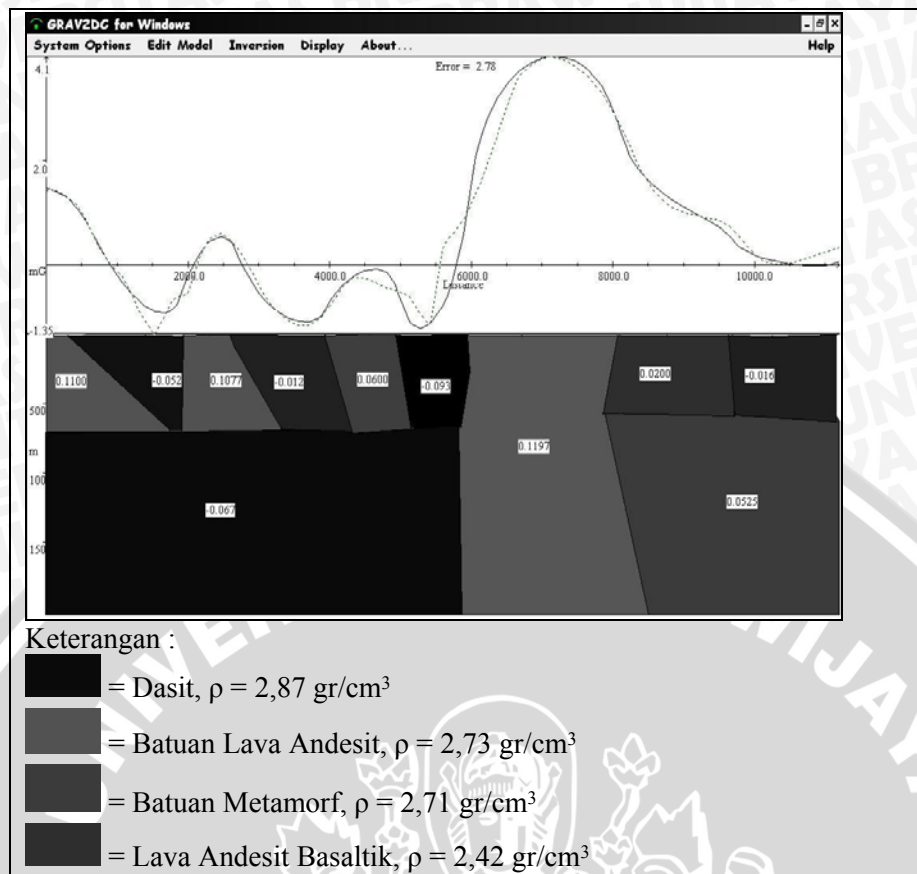
Pada penampang melintang anomali Bouguer lintasan BB', juga memperlihatkan adanya pola tinggian dan rendahan. Pola rendahan membentang dari jarak 3 km sampai 6 km ke arah timurlaut sedangkan pola tinggian terlihat dari jarak 6 km sampai 12 km ke arah timurlaut. Bentukan pola yang turun bisa diindikasikan karena adanya intrusi batuan dasit yang menerobos lapisan batuan vulkanik. Pada anomali dengan pola rendahan bisa diindikasikan sebagai bentukan akibat adanya struktur graben pada bawah permukaan. Semakin ke arah timur laut diindikasikan adanya sesar-sesar naik yang terlihat dengan nilai anomali Bouguer yang semakin meningkat.

4.2.2.2. Interpretasi Kuantitatif Penampang Melintang Anomali Sisa AA' dan BB'

Penampang melintang anomali sisa AA' dan BB' diambil berdasarkan hasil penafsiran kualitatif pola kontur anomali sisa. Pada penampang melintang AA' memotong beberapa tinggian dan rendahan anomali dengan nilai tertinggi yaitu 3,4286 mGal dan yang terendah yaitu -0,0521 mGal. Sedangkan pada penampang melintang BB' nilai anomali tertinggi yaitu 3,3186 mGal dan nilai anomali terendah yaitu -0,0601 mGal. Lokasi penampang anomali sisa AA' dan BB' dapat dilihat pada gambar berikut:

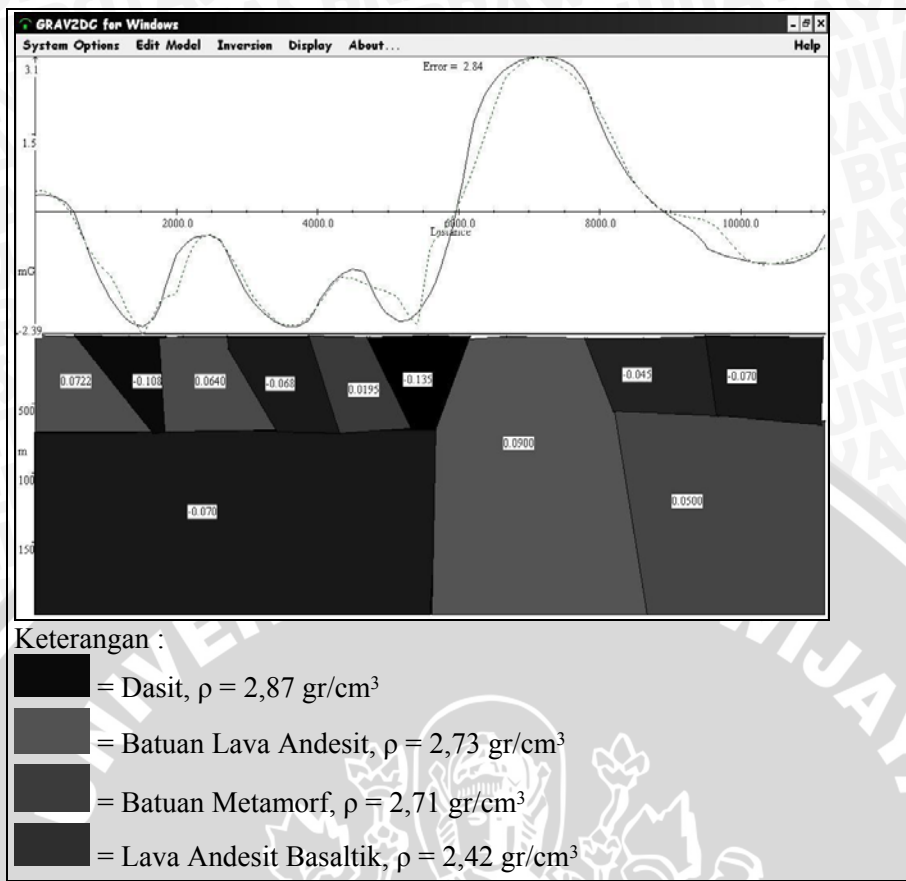


Gambar 4.11 Anomali sisa dengan model dua lintasan.



Gambar 4.12 Model penampang melintang anomali sisa AA'.

Pada penampang melintang anomali sisa AA' terlihat adanya hubungan yang signifikan dengan anomali Bouguer. Pola yang tergambar lebih mencerminkan struktur geologi permukaan sehingga data geologi permukaan dapat dijadikan data acuan untuk penafsiran pola anomali sisa. Pola rendahan terlihat pada jarak 1 km sampai 2 km dan jarak 3 sampai 5,5 km. Anomali rendah ini dapat disebabkan oleh adanya batuan intrusi dasit seperti yang terlihat pada peta geologi. Sedangkan pada jarak 6 km sampai 10 km terdapat pola tinggian anomali sisa yang mengindikasikan adanya suatu patahan yang dipengaruhi oleh batuan yang sudah mengalami alterasi dari panasbumi di daerah tersebut.



Gambar 4.13 Model penampang melintang anomali sisa BB'.

Pada penampang melintang anomali sisa BB' terlihat adanya hubungan yang sama dengan penampang melintang anomali Bouguer. Pola yang tergambar lebih mencerminkan struktur geologi permukaan sehingga data geologi permukaan dapat dijadikan data acuan untuk penafsiran pola anomali sisa. Pola anomali sisa rendah berada pada jarak 0,5 km sampai 6 km yang dikarenakan adanya batuan intrusi dasit seperti yang terlihat pada peta geologi. Pola anomali sisa tinggi berada pada jarak 6 km sampai 9 km yang mengindikasikan adanya patahan di daerah tersebut.

Dari pemodelan anomali sisa maka dapat diperkirakan bentuk struktur yang diindikasikan sebagai jalan keluar dari manifestasi panasbumi di daerah Sampuraga. Berdasarkan bentuk pemodelan dari penampang melintang anomali sisa AA' dan BB', tampak perbedaan densitas pada

daerah zona depresi dengan daerah sekitar. Perbedaan densitas dapat diindikasikan karena perbedaan batuan penyusunnya. Akibat alterasi panasbumi maka batuan yang diindikasikan sebagai jalan keluar dari manifestasi panasbumi adalah batuan dasit. Dari segi geomorfologi pada daerah panasbumi Sampuraga terdapat gunung api tidak aktif yang menjadi sumber panasbumi.

4.2.3. Potensi Sumber Daya Panasbumi

Penarikan penampang anomali sisa AA' dan BB' mengacu pada penampang anomali Bouguer AA' dan BB', sehingga bagian wilayah yang terpotong oleh penampang berada pada selang koordinat yang sama. Terdapat beberapa hubungan antara pola anomali Bouguer dan pola anomali sisa pada kedua lintasan tersebut. Pada arah baratlaut sampai tenggara terlihat pola anomali rendah yang dapat diindikasikan terjadi akibat adanya batuan terobosan batuan dasit pada daerah sekitar daerah panasbumi Sampuraga. Berdasarkan interpretasi terhadap pemodelan yang dihasilkan, dapat dilihat adanya korelasi antara model anomali gayaberat dengan peta geologi daerah panasbumi Sampuraga.

Pada geologi Lembar Sampuraga diketahui bahwa daerah ini memiliki potensi *geothermal* yang belum dieksplorasi yaitu di sekitar daerah Sampuraga yang melebar ke sebelah barat dan tenggara desa Sirambas pada koordinat 558734 (meter) BT dan 90384 (meter) LU. Sehingga diindikasikan bahwa batuan yang menjadi sumber panas di daerah Sampuraga adalah intrusi andesit yang menerobos kerak granitik hingga lapisan batuan vulkanik melalui rekahan-rekahan batuan. Sehingga menyebabkan adanya rekahan-rekahan yang dijadikan jalan keluar dari fluida panasbumi.

Di daerah gunungapi yang terdapat potensi *geothermal* banyak terdapat sesar akibat aktivitas tektonik. Sesar-sesar tersebut akan mengakibatkan zona rekahan sehingga air hujan akan menerobos masuk melalui rongga-rongga rekahan dan menuju lapisan yang lebih dalam sampai akhirnya bertemu dengan batuan panas. Air yang terakumulasi pada batuan panas tersebut lama kelamaan akan semakin panas kemudian sebagian berubah menjadi uap panas. Akibat perbedaan tekanan antara permukaan bumi dengan bawah permukaan, maka air maupun uap panas akan berusaha mencari jalan keluar menuju permukaan bumi. Air atau uap panas yang muncul ke permukaan bumi tersebut dapat berupa uap panas, mata air panas maupun lumpur panas. Hal tersebut merupakan tanda-tanda adanya batuan terobosan yang memanaskan batuan reservoir dan

merupakan potensi *geothermal* yang dapat dimanfaatkan sebagai sumber energi.

Adanya batuan intrusi masih memungkinkan untuk menyimpan panas dari dapur magma. Lokasi manifestasi yang berada pada zona hancuran menyebabkan timbulnya zona depresi atau zona lemah yang arahnya sejurus dengan kelurusinan. Zona lemah menimbulkan adanya graben yang bisa diindikasikan sebagai jalan keluar dari fluida *geothermal*. Graben merupakan struktur yang wajar sebagai tempat terjadinya terobosan magma ke permukaan dan membentuk sistem panasbumi. Pada zona depresi, nilai densitas batuan semakin kecil yang disebabkan karena pada zona tersebut batuan sudah teralterasi oleh panasbumi. Perbedaan nilai kontras densitas pada batuan yang teralterasi disebabkan adanya permeabilitas sekunder pada batuan penyusun.



BAB V PENUTUP

5.1. Kesimpulan

Berdasarkan pengolahan data dengan menggunakan metode gayaberat di daerah panasbumi Sampuraga, Kabupaten Mandailing Natal, Sumatera Utara dapat disimpulkan bahwa :

1. Arah penyebaran anomali Bouguer memperlihatkan adanya pola kelurusian dengan arah sesar utama di daerah tersebut pada arah baratlaut sampai tenggara. Nilai anomali Bouguer di daerah panasbumi Sampuraga berkisar antara -17 sampai -36 mGal sedangkan nilai anomali sisa berkisar antara 3,5 sampai -7,5 mGal.
2. Nilai anomali Bouguer yang berkisar antara -36 mGal sampai -32 mGal menggambarkan kontras rapat massa batuan yang rendah karena terdapat zona lemah pada struktur graben. Sedangkan nilai anomali Bouguer yang berkisar antara -17 mGal sampai -21 mGal menggambarkan kontras rapat massa batuan yang relatif tinggi. Anomali sisa positif yang berkisar antara 3,5 mGal sampai 1,5 mGal diperkirakan karena adanya intrusi batuan andesit dan diperkirakan sebagai sumber panas (*heat source*) dari sistem panasbumi Sampuraga. Sedangkan anomali sisa negatif yang berkisar antara -2,5 mGal sampai -4,5 mGal diperkirakan bahwa batuan dasit di daerah tersebut telah teraltermasih oleh sistem panasbumi di daerah penelitian.

5.2. Saran

Untuk mendapatkan hasil interpretasi data yang lebih baik maka disarankan untuk membandingkan dengan metode geofisika yang lain seperti penggunaan metode magnetik dan metode geolistrik sehingga dapat diketahui lebih detail tentang penggambaran *volcanic-geothermal* pada daerah Sampuraga, Kabupaten Mandailing Natal, Sumatera Utara.

(halaman ini sengaja dikosongkan)

UNIVERSITAS BRAWIJAYA



DAFTAR PUSTAKA

- Anonymous, www.e-dukasi.net, Tanggal akses: 25 Februari 2009.
- _____, www.taman.blogspot.com, Tanggal akses: 25 Februari 2009.
- Blakely,R.J, 1995, *Potential Theory in Gravity and Magnetic Application*, Cambridge University Press. USA.
- Grant,F.S.,West, 1965, *Interpretation Theory in Applied Geophysics*, McGraw Hill, New York.
- Hadi pandoyo, Sasongko, 2004, *In – House Training Gravity*, Departemen Energi dan Sumber Daya Mineral Pusdiklat Migas Cepu, Blora.
- Kadir, WGA,1999, *Survei Gravitasi 4D dan Dinamika Sumber Bawah Permukaan* : Proceeding Himpunan Ahli Geofisika Indonesia, 94-99.
- Kastowo, Geohard W. Leo, Soetoyo, Rock N.M.S, 1996, *Peta Geologi Lembar Mandailing Natal, Sumatera Utara*, Pusat Penelitian dan Pengembangan Geologi, Bandung.
- Kirbani, SB. 2001, *Paduan Workshop Eksplorasi Geofisika (Teori dan Aplikasi)*, Laboratorium Geofisika Fakultas MIPA UGM, Yogyakarta.
- Kearey,P. and M.Brooks, 1984, *An Introduction to Geophysical Exploration*, Blackwell Scientific Publications, Dorking.
- Longman I.M., 1969, *Formula for Computing the Tidal Accelerations Due to the Moon and Sun*, Journal Geophysics Research, Vol.64, 2351-2355
- Moh, Untung, 2001, *Dasar-Dasar Magnet dan Gaya Berat Beserta Penerapannya*, Himpunan Ahli Geofisika Indonesia
- Nettleton,L.L, 1976, *Gravity and Magnetic in Oil Prospecting*. McGraw Hill, New York.
- Parasnis,D.S, 1986, *Principles of Applied Geophysics. 4th edition*, Chapman and Hall Ltd, London.
- Suyanto, Imam dan S.B.Kirbani, 1999, *Pembuatan Titik Ikat Baru dan Uji Kalibrasi Jalur Bandung - Tangkuban Perahu*, Pertemuan Ilmiah HAGI 1999, Surabaya.
- Soetoyo, 1996, *Hubungan Struktur Sesar Dengan Terbentuknya Endapan Aliran Piroklastik Di Daerah Panas Bumi Sampuraga, Mandailing Natal – Sumatera Utara*, Pusat Penelitian dan Pengembangan Geologi, Bandung.
- Schon, J.H, 1995, *Seismic Exploratin, Physical Properties of Rock : Funsamental Theory and Priciple of Petrophysics*, Pergamon.

- Skeels,D.C, 1947, *Ambiguity in Gravity Interpretation*. *Geophysics*. V.13:43-56.
- Untoro, Yudistira, T, 2005, *Petunjuk Praktikum Gravitasi dan Geomaget*, Laboratorium Geofisika Terapan, ITB
- Untung, M. dan Y.Sato, 1978, *Gravity and Geological Study in Java Indonesia*, Geological Survey of Indonesia.



Lampiran I

**Contoh Pemprosesan Data Gayaberat Daerah Panasbumi Sampuraga,
Kabupaten Mandailing Natal, Sumatera Utara**

Lintasan Pengukuran : 1

Tanggal Pengukuran : 17 Juli 2007

Stasiun	Jam	Reading	Konversi	Koreksi
			(mGal)	Tidal
BASE	8:21	2755,25	2786,6091	-0,0416
E-4000	9:04	2756,43	2787,8034	-0,0441
E-4250	9:16	2757,15	2788,5321	-0,0445
E-4500	9:52	2757,99	2789,3823	-0,0462
E-4750	10:12	2758,84	2790,2426	-0,0474
E-5000	10:26	2760,29	2791,7101	-0,0484
E-5250	10:40	2761,44	2792,874	-0,0494
E-5500	10:53	2763,6	2795,0602	-0,0505
E-5750	11:06	2765,72	2797,2059	-0,0516
E-6000	11:19	2767,03	2798,5317	-0,0528
E-6250	11:51	2768,88	2800,4041	-0,0558
E-6500	12:08	2770,04	2801,5782	-0,0576
E-6750	12:55	2771,74	2803,2988	-0,0625
E-7000	13:13	2772,04	2803,6024	-0,0645
BASE	15:00	2755,2	2786,5585	-0,075

G.Observasi	X	Y	G Normal
	meter	meter	(mGal)
977953,3100	559496	89292	978032,8723
977954,5108	559325	90446	978032,8989
977955,2416	559490,0716	90636,1018	978032,9034
977956,0977	559656,5674	90821,4068	978032,9077
977956,9610	559824,683	91013,7289	978032,9122

977958,4305	559984,7884	91200,2741	978032,9166
977959,5963	560163,8776	91371,3999	978032,9206
977961,7842	560329,473	91555,561	978032,9249
977963,9315	560481,8939	91754,7845	978032,9296
977965,2588	560654,0739	91949,537	978032,9342
977967,1350	560800,8388	92134,7311	978032,9386
977968,3108	560923,3627	92305,9125	978032,9427
977970,0364	561051,5203	92459,134	978032,9463
977970,3418	561253,6054	92680,4618	978032,9516
977953,3100	559496	89292	978032,8723

Tinggi meter	Koreksi F A	Koreksi Bouguer	Anomali Bouguer	Anomali Sisa
233,711	72,1232	26,1646	-31,1922	-0,5617
216,42	66,7872	24,2288	-33,8931	-1,0328
213,4391	65,8673	23,8951	-34,0163	-2,1606
211,5116	65,2724	23,6793	-33,7234	-0,1325
210,1084	64,8394	23,5222	-33,3002	-2,1263
207,4481	64,0184	23,2244	-32,5002	-2,0476
207,8649	64,1471	23,2711	-31,3050	-1,7833
205,2102	63,3278	22,9739	-29,8131	-1,2045
201,6223	62,2206	22,5722	-28,4252	-0,6733
203,0352	62,6566	22,7304	-26,8751	-0,0144
201,3969	62,1510	22,5470	-25,4151	0,7261
203,4602	62,7878	22,7780	-23,9012	1,6588
202,9081	62,6174	22,7161	-22,3191	2,7670
207,5086	64,0371	23,2312	-21,2077	0,2647
233,711	72,1232	26,1646	-31,1922	-0,5617

Lintasan Pengukuran : 2
Tanggal Pengukuran : 18 Juli 2007

Stasiun	Jam	Reading	Konversi	Koreksi
		Counter	(mGal)	Tidal
BASE	7:38	2755,15	2786,5079	-0,0553
E-3750	8:44	2751,41	2782,7226	-0,0547
E-3500	9:01	2755,19	2786,5484	-0,0549
E-3250	9:16	2756,08	2787,4491	-0,0552
E-3000	9:32	2754,92	2786,2751	-0,0556
E-2750	9:52	2740,94	2772,1258	-0,0562
E-2500	10:08	2739,57	2770,7392	-0,0569
E-2250	10:27	2744,31	2775,5366	-0,0578
E-2000	10:54	2743,44	2774,6561	-0,0593
E-1750	11:22	2726,18	2757,1870	-0,0612
E-1500	11:36	2729,48	2760,5270	-0,0622
E-1250	12:36	2718,04	2748,9485	-0,0669
E-1000	12:57	2715,67	2746,5498	-0,0686
BASE	15:02	2754,97	2786,3257	-0,0782

G.Observasi	X	Y	G Normal
	meter	meter	(mGal)
977953,3100	559496	89292	978032,8723
977949,5558	559155,622	90274,5101	978032,8950
977953,3892	558976,0448	90077,8462	978032,8904
977954,2966	558815,7705	89889,5809	978032,8861
977953,1296	558656,2482	89701,1359	978032,8817
977938,9889	558493,298	89513,0723	978032,8774
977937,6090	558330,4072	89324,0669	978032,8730
977942,4143	558163,6865	89134,2388	978032,8687
977941,5447	558000,1935	88943,9338	978032,8643
977924,0867	557838,2087	88759,819	978032,8601
977927,4321	557679,031	88567,6069	978032,8557

977915,8767	557476,0653	88350,9976	978032,8508
977913,4860	557315,0897	88170,5623	978032,8467
977953,1049	559496	89292	978032,8723

Tinggi meter	Koreksi F A	Koreksi Bouguer	Anomali Bouguer	Anomali Sisa
233,711	72,1232	26,16467	-31,1923	-0,5617
244,3213	75,3976	27,35253	-33,4430	-1,6665
231,946	71,5785	25,96707	-31,6072	-0,3073
226,3018	69,8367	25,33519	-31,2353	-0,4373
233,0282	71,9125	26,08823	-30,4662	-0,2894
305,8303	94,3792	34,23865	-30,9569	-1,4748
317,8017	98,0736	35,57889	-29,6868	-0,9550
296,6485	91,5457	33,21072	-28,2175	-0,2703
302,0507	93,2128	33,81551	-27,3402	-0,0970
390,1454	120,3989	43,67799	-28,1496	-1,5825
379,7363	117,1866	42,51266	-26,0270	-0,1175
444,0778	137,0424	49,71589	-25,3837	-0,2351
461,5212	142,4254	51,66873	-23,9122	0,6085
233,711	72,1232	26,16467	-31,3974	-0,7668

Lintasan Pengukuran : 3

Tanggal Pengukuran : 19 Juli 2007

Stasiun	Jam	Reading	Konversi	Koreksi
		Counter	(mGal)	Tidal
BASE	8:09	2754,97	2786,3257	-0,0624
D-3500	8:34	2755,26	2786,6192	-0,0624
D-3600	8:48	2752,55	2783,8764	-0,0624
D-3750	8:59	2748,71	2779,9899	-0,0625
D-3850	9:08	2745,2	2776,4374	-0,0626
D-4000	9:24	2749,74	2781,0324	-0,0629
D-4100	9:35	2752,88	2784,2104	-0,0631

D-4250	9:44	2755,8	2787,1657	-0,0634
D-4350	9:57	2758,07	2789,4632	-0,0637
D-4500	10:09	2758,43	2789,8276	-0,0641
D-4600	10:18	2758,4	2789,7972	-0,0644
D-4750	10:26	2758,82	2790,2223	-0,0647
D-5000	10:39	2759,67	2791,0826	-0,0653
D-5250	10:57	2760,86	2792,287	-0,0661
D-5500	11:12	2762,04	2793,4813	-0,0668
D-5750	11:26	2764,57	2796,0419	-0,0675
D-6000	13:16	2765,99	2797,4791	-0,074
D-6250	13:33	2767,59	2799,0985	-0,0751
D-6500	13:48	2769,57	2801,1025	-0,076
D-6750	14:04	2771,22	2802,7725	-0,0769
D-7000	14:18	2772,16	2803,7239	-0,0776
BASE	16:15	2754,95	2786,3054	-0,0824

G. Observasi	X	Y	G Normal
	meter	meter	(mGal)
977953,3100	559496	89292	978032,87230
977953,6056	558717	90383	978032,89753
977950,8639	558786,7947	90459,7608	978032,89932
977946,9782	558888,1991	90571,7824	978032,90193
977943,4264	558947,6298	90653,3979	978032,90383
977948,0224	559046,3606	90767,4047	978032,90649
977951,2011	559109,7864	90845,7289	978032,90832
977954,1569	559209,1352	90963,8437	978032,91109
977956,4552	559250,0892	91053,7455	978032,91319
977956,8202	559258,6793	91202,4402	978032,91668
977956,7902	559321,0118	91281,658	978032,91854
977957,2157	559392,0376	91412,8183	978032,92163
977958,0764	559592,8579	91552,3079	978032,92491

977959,2815	559795,1505	91680,313	978032,92793
977960,4764	560000,489	91905,1138	978032,93324
977963,0374	560151,5145	92039,7097	978032,93642
977964,4773	560312,2779	92236,8134	978032,94110
977966,0970	560481,3909	92420,5794	978032,94547
977968,0997	560640,1311	92616,2454	978032,95013
977969,7717	560799,1986	92813,1823	978032,95483
977970,7236	560964,2204	93007,023	978032,95946
977953,3100	559496	89292	978032,87230

Tinggi meter	Koreksi	Koreksi	Anomali	Anomali Sisa
	F A	Bouguer	Bouguer	
233,711	72,1232	26,1647	-31,1923	-0,5617
225,3626	69,5469	25,2300	-32,5363	-1,1124
236,8409	73,0891	26,5151	-33,3270	-1,7212
254,5727	78,5611	28,5002	-33,9782	-2,1593
271,598	83,8151	30,4062	-34,1980	-2,2865
251,7632	77,6941	28,1857	-33,6586	-1,7001
239,0263	73,7635	26,7597	-33,0779	-1,1415
226,1562	69,7918	25,3189	-32,6978	-0,7022
216,3333	66,7605	24,2192	-32,3151	-0,4010
214,3293	66,1420	23,9948	-32,4346	-0,6759
213,9092	66,0124	23,9478	-32,6058	-0,9755
213,1415	65,7755	23,8619	-32,4419	-0,9980
211,7131	65,3347	23,7019	-32,0094	-1,2008
210,3087	64,9013	23,5447	-31,2147	-1,1788
205,8836	63,5357	23,0493	-31,0061	-2,0022
207,0859	63,9067	23,1839	-28,2989	0,0175
205,8864	63,5365	23,0496	-27,1597	0,3344
207,2923	63,9704	23,2070	-25,3679	1,3692
206,4591	63,7133	23,1137	-23,5854	-1,4901

206,0604	63,5902	23,0691	-22,0421	-0,5251
206,772	63,8098	23,1488	-21,0060	-0,8291
233,711	72,1232	26,1647	-31,1923	-0,5617

Lintasan Pengukuran : 4

Tanggal Pengukuran : 20 Juli 2007

Stasiun	Jam	Reading	Konversi	Koreksi
		Counter	(mGal)	Tidal
BASE	8:44	2754,77	2786,1233	-0,0653
B-3500	9:13	2755,45	2786,8115	-0,0662
B-3750	9:25	2755,94	2787,3074	-0,0666
B-4000	9:37	2756,74	2788,1171	-0,067
B-4250	9:51	2756,66	2788,0362	-0,0675
B-4500	10:03	2757,2	2788,5827	-0,068
B-4750	10:15	2757,24	2788,6232	-0,0684
B-5000	10:30	2758,05	2789,443	-0,069
B-5250	10:43	2758,85	2790,2527	-0,0695
B-5500	11:05	2759,86	2791,2749	-0,0704
B-5750	11:19	2761,18	2792,6109	-0,071
B-6000	11:38	2762,75	2794,1999	-0,0717
B-6250	11:53	2764,3	2795,7687	-0,0724
B-6500	12:06	2765,73	2797,216	-0,0729
B-6750	12:18	2766,54	2798,0358	-0,0734
B-6950	12:31	2766,95	2798,4508	-0,0739
C-6650	13:40	2768,72	2800,2422	-0,0764
C-6500	13:49	2767,67	2799,1795	-0,0766
C-6250	14:01	2766,19	2797,6816	-0,077
C-6000	14:11	2763,96	2795,4246	-0,0772
C-5750	14:26	2762,17	2793,6129	-0,0776
C-5500	14:37	2760,5	2791,9227	-0,0778
C-5250	14:58	2759,48	2790,8903	-0,0782
C-5000	15:10	2758,18	2789,5746	-0,0784

C-4750	15:23	2757,35	2788,7345	-0,0785
C-4500	15:36	2756,17	2787,5402	-0,0786
C-4250	15:48	2755,61	2786,9734	-0,0786
C-4000	16:00	2755,44	2786,8014	-0,0786
C-3750	16:15	2755,48	2786,8419	-0,0785
BASE	17:20	2754,75	2786,103	-0,0774

G. Observasi	X	Y	G Normal
	Meter	meter	(mGal)
977953,3100	559496	89292	978032,8723
977953,9991	557363	91488	978032,9234
977954,4954	557526,0887	91681,4455	978032,9280
977955,3054	557687,785	91873,2395	978032,9325
977955,2249	557817,5304	92027,1353	978032,9361
977955,7717	557979,6972	92219,4873	978032,9407
977955,8125	558141,0374	92410,8588	978032,9452
977956,6327	558302,9717	92602,9351	978032,9498
977957,4427	558464,2907	92794,2816	978032,9544
977958,4654	558626,1319	92986,2474	978032,9590
977959,8016	558787,4811	93177,6296	978032,9636
977961,3911	558948,6929	93368,8489	978032,9681
977962,9602	559109,8567	93560,0113	978032,9727
977964,4078	559294,1969	93726,8588	978032,9768
977965,2278	559456,0808	93918,8753	978032,9814
977965,6432	559589,2778	94076,8652	978032,9852
977967,4364	560001,3836	93452,3795	978032,9702
977966,3741	559902,8918	93339,0093	978032,9674
977964,8765	559747,6149	93142,7413	978032,9627
977962,6199	559601,2165	92939,7342	978032,9579
977960,8088	559427,877	92759,2092	978032,9535
977959,1191	559254,7714	92580,2161	978032,9493

977958,0876	559100,0706	92382,265	978032,9446
977956,7724	558939,1974	92192,3001	978032,9400
977955,9331	558772,8817	92005,7571	978032,9356
977954,7395	558607,3627	91818,1081	978032,9312
977954,1734	558439,7564	91635,7422	978032,9269
977954,0022	558281,0046	91442,3883	978032,9223
977954,0437	558118,2197	91250,5097	978032,9178
977953,3100	559496	89292	978032,8723

Tinggi meter	Koreksi F A	Koreksi Bouguer	Anomali Bouguer	Anomali Sisa
233,711	72,12321460	26,1647	-31,1923	-0,5617
241,964	74,67009040	27,0886	-28,1428	1,1372
234,5062	72,36861332	26,2537	-29,5355	0,3583
226,4453	69,88101958	25,3513	-30,6268	-0,2460
223,0648	68,83779728	24,9728	-31,5777	-0,8149
217,2026	67,02872236	24,3165	-32,4553	-1,2878
214,0318	66,05021348	23,9615	-33,2670	-1,8910
208,5229	64,35016694	23,3448	-33,6877	-2,2510
205,3469	63,37005334	22,9892	-33,6872	-2,4265
202,4419	62,47357034	22,6640	-33,3637	-2,3636
199,188	61,46941680	22,2997	-32,7974	-2,0553
196,0307	60,49507402	21,9462	-31,9391	-1,5636
194,0233	59,87559038	21,7215	-30,8787	-0,8717
190,7767	58,87368962	21,3580	-30,1400	-0,7024
187,126	57,74708360	20,9493	-30,0755	-1,0469
187,8202	57,96131372	21,0271	-29,5956	-0,7820
211,0013	65,11500118	23,6222	-23,4094	-0,5749
212,8632	65,68958352	23,8307	-24,0711	-2,0335
213,1258	65,77062188	23,8601	-25,4468	-0,8757
213,7781	65,97192166	23,9331	-27,4858	1,6389

215,1466	66,39424076	24,0863	-28,9287	0,7184
216,9488	66,95039968	24,2881	-30,1657	0,0888
215,922	66,63352920	24,1731	-31,2530	-0,5738
220,2286	67,96254596	24,6553	-31,5850	-0,4613
221,8888	68,47488368	24,8411	-31,9448	-0,5307
224,1575	69,17500450	25,0951	-32,5030	-0,9011
217,8404	67,22554744	24,3879	-34,0377	-2,4947
220,4797	68,04003542	24,6834	-33,4337	-2,0535
222,9336	68,79730896	24,9581	-32,6022	-1,5953
233,711	72,12321460	26,1647	-31,1923	-0,5617

Lintasan Pengukuran : 5**Tanggal Pengukuran : 21 Juli 2007**

Stasiun	Jam	Reading	Konversi	Koreksi
		Counter	(mGal)	Tidal
BASE	8:39	2754,44	2785,7893	-0,0607
A-3000	9:36	2742,61	2773,816	-0,0635
A-2750	9:54	2746,14	2777,3888	-0,0644
A-2500	10:25	2740,71	2771,893	-0,066
A-2250	10:53	2730,58	2761,6403	-0,0674
A-2000	11:16	2716,27	2747,157	-0,0685
A-1750	12:01	2693,02	2723,629	-0,0705
A-1500	12:54	2702,33	2733,0482	-0,0726
A-1250	13:21	2693,33	2723,9428	-0,0735
A-1000	13:45	2679,66	2710,1083	-0,0742
BASE	16:07	2754,41	2785,7589	-0,0753

G. Observasi	X	Y	G Normal
	meter	meter	(mGal)
977953,3100	559496	89292	978032,8723
977941,3396	556629	91740	978032,9293
977944,9133	556466,0415	91543,4494	978032,9247

977939,4190	556292,4428	91359,163	978032,9204
977929,1678	556147,2181	91148,3125	978032,9154
977914,6857	556063,4489	90904,8906	978032,9097
977891,1602	555921,3719	90691,5525	978032,9047
977900,5784	555766,1939	90490,0312	978032,9000
977891,4790	555629,5375	90283,2117	978032,8952
977877,6462	555429,2629	90123,7416	978032,8915
977953,3100	559496	89292	978032,8723

Tinggi meter	Koreksi F A	Koreksi Bouguer	Anomali Bouguer	Anomali Sisa
233,7110	72,1232	26,16467	-31,1923	-0,5617
321,0945	99,0898	35,94752	-24,7609	2,1695
306,3411	94,5369	34,29584	-23,0312	3,2544
327,1383	100,9549	36,62415	-23,7411	2,0287
379,3313	117,0616	42,46731	-24,2351	1,1258
453,8698	140,0642	50,81213	-24,4732	0,7053
563,8241	173,9961	63,12186	-25,0763	-0,0647
528,1011	162,9720	59,12256	-24,0511	0,9953
570,9633	176,1993	63,92111	-24,4234	0,7635
636,0256	196,2775	71,20504	-25,6282	-0,3606
233,7110	72,1232	26,16467	-31,1923	-0,5617

Lintasan Pengukuran : 6

Tanggal Pengukuran : 23 Juli 2007

Stasiun	Jam	Reading	Konversi	Koreksi
		Counter	(mGal)	Tidal
BASE	8:37	2754,15	2785,4958	-0,0531
A-3250	9:34	2745,94	2777,1863	-0,0572
A-3500	9:55	2755,03	2786,3864	-0,0586
A-3750	10:06	2756,58	2787,9552	-0,0594
A-4000	10:20	2757,48	2788,8661	-0,0603

A-4250	10:33	2757,78	2789,1697	-0,0612
A-4500	10:44	2757,87	2789,2608	-0,0619
A-4750	10:53	2757,78	2789,1697	-0,0625
A-5000	11:06	2757,89	2789,281	-0,0633
A-5250	11:18	2758,47	2789,8681	-0,064
A-5500	11:32	2758,68	2790,0806	-0,0648
A-5750	12:10	2759,45	2790,8599	-0,0669
A-6000	12:26	2760,15	2791,5684	-0,0677
A-6250	13:07	2761,47	2792,9044	-0,0694
A-6500	13:27	2763,53	2794,9893	-0,0701
A-6750	13:37	2764,15	2795,6169	-0,0705
A-6850	13:49	2764,5	2795,9711	-0,0708
RB-18	14:23	2761,78	2793,2182	-0,0716
BASE	15:45	2754,14	2785,4856	-0,072

G.Observasi	X	Y	G Normal
	Meter	meter	
977953,3100	559496	89292	978032,872
977944,9919	556787,6971	91933,1521	978032,934
977954,1889	556947,9885	92122,2917	978032,938
977955,7561	557103,2724	92316,038	978032,943
977956,6650	557272,6395	92499,8814	978032,947
977956,9666	557433,7557	92693,2091	978032,952
977957,0562	557599,0168	92868,8769	978032,956
977956,9637	557767,5522	93055,2191	978032,961
977957,0732	557931,7741	93242,2091	978032,965
977957,6587	558091,5862	93433,7065	978032,970
977957,8693	558247,6477	93623,7468	978032,974
977958,6435	558412,4389	93816,7719	978032,979
977959,3499	558570,5813	94009,534	978032,984
977960,6809	558738,7207	94200,328	978032,988

977962,7636	558905,5821	94393,0798	978032,993
977963,3900	559056,7599	94589,7684	978032,998
977963,7429	559120,0706	94661,8381	978032,999
977960,9865	558630	94414	978032,993
977953,3100	559496	89292	978032,872

Tinggi meter	Koreksi	Koreksi	Anomali	Anomali Sisa
	F A	Bouguer	Bouguer	
233,711	72,12321	26,1647	-31,1923	-0,5617
298,7617	92,19786	33,4473	-25,7605	1,8073
238,7892	73,69035	26,7332	-27,9182	0,2371
230,7077	71,19640	25,8284	-28,5845	0,1271
224,4138	69,25410	25,1238	-29,4034	-0,1005
219,0855	67,60979	24,5273	-30,4985	-0,6655
215,0456	66,36307	24,0750	-31,5062	-1,2260
212,7606	65,65792	23,8192	-32,3365	-1,7580
210,6358	65,00221	23,5813	-32,8341	-2,1046
207,5164	64,03956	23,2321	-33,0312	-2,2709
205,0208	63,26942	22,9527	-33,4819	-2,7338
204,128	62,99390	22,8528	-33,0296	-2,4089
204,8627	63,22063	22,9350	-32,3133	-1,8434
202,9834	62,64068	22,7246	-31,4761	-1,2995
197,5916	60,97677	22,1210	-30,5353	-0,7876
198,334	61,20587	22,2041	-29,8576	-0,3615
196,2382	60,55911	21,9695	-29,9354	-0,5339
202,559	62,50971	22,6771	-31,2610	-1,2065
233,711	72,12321	26,1647	-31,1923	-0,5617

Lintasan Pengukuran : 7

Tanggal Pengukuran : 24 Juli 2007

Stasiun	Jam	Reading	Konversi	Koreksi
		Counter	(mGal)	Tidal

BASE	8:29	2754,12	2785,4654	-0,0431
G-2750	9:26	2750,92	2782,2266	-0,0482
G-3000	9:43	2747,23	2778,492	-0,0498
G-3250	10:00	2753,38	2784,7164	-0,0513
G-3500	10:32	2749,6	2780,8907	-0,0541
G-3750	10:50	2746,9	2778,158	-0,0556
G-4000	11:01	2749,64	2780,9311	-0,0565
G-4250	11:18	2755,85	2787,2163	-0,0578
G-4500	11:33	2761,58	2793,0157	-0,0589
G-4750	11:44	2762,81	2794,2606	-0,0597
G-5000	11:57	2763,95	2795,4144	-0,0606
G-5250	12:14	2765,21	2796,6897	-0,0618
G-5500	12:27	2765,98	2797,469	-0,0626
G-5750	13:15	2766,83	2798,3293	-0,0652
G-6000	13:25	2768,23	2799,7463	-0,0656
G-6250	13:46	2769,08	2800,6066	-0,0665
F-6700	14:18	2768,97	2800,4952	-0,0675
F-6500	14:27	2767,65	2799,1592	-0,0677
F-6250	14:37	2765,7	2797,1856	-0,0679
F-6000	14:57	2764,6	2796,0723	-0,0683
F-5750	15:11	2763,14	2794,5946	-0,0684
F-5500	15:21	2761,32	2792,7526	-0,0685
F-5250	15:33	2759,92	2791,3356	-0,0685
F-5000	15:43	2758,31	2789,7061	-0,0685
F-4750	15:55	2757,27	2788,6535	-0,0684
F-4500	16:07	2755,93	2787,2973	-0,0683
F-4250	16:18	2754,84	2786,1941	-0,0682
F-4000	16:35	2754,02	2785,3642	-0,0678
F-3750	16:48	2753,46	2784,7974	-0,0675
F-3500	16:59	2753,15	2784,4836	-0,0672
BASE	17:18	2754,02	2785,3642	-0,0665

G.Observasi	X	Y	G Normal
	meter	meter	
977953,31000	559496	89292	978032,872
977950,07953	559874	88392	978032,852
977946,34733	560036,0484	88584,2116	978032,856
977952,57423	560234,5065	88819,61	978032,861
977948,75327	560399,2894	89015,0651	978032,866
977946,02331	560572,9794	89221,0853	978032,871
977948,79810	560735,4452	89413,7919	978032,875
977955,08601	560897,1916	89605,6453	978032,880
977960,88784	561062,7365	89802,0043	978032,884
977962,13453	561224,4141	89993,776	978032,888
977963,29049	561385,6493	90185,023	978032,893
977964,56860	561514,6244	90338,0052	978032,896
977965,35016	561675,8577	90529,2499	978032,901
977966,21916	561837,0994	90720,5047	978032,905
977967,63812	561998,8793	90912,3977	978032,910
977968,50247	562160,1612	91103,7002	978032,914
977968,39760	561416,8458	91879,0022	978032,933
977967,06352	561287,9068	91742,1916	978032,929
977965,09208	561131,6447	91547,2219	978032,925
977963,98309	560968,1049	91358,9899	978032,920
977962,50859	560808,546	91167,7544	978032,916
977960,66884	560648,6724	90974,8251	978032,911
977959,25467	560488,5392	90782,0907	978032,907
977957,62752	560329,4378	90588,1858	978032,902
977956,57785	560168,3037	90396,99	978032,898
977955,22458	560004,8007	90206,8843	978032,893
977954,12407	559845,4283	90014,7356	978032,889
977953,29857	559678,2498	89804,8987	978032,884

977952,73513	559517,5663	89612,842	978032,880
977952,42422	559358	89421	978032,875
977953,31000	559496	89292	978032,872

Tinggi meter	Koreksi F A	Koreksi Bouguer	Anomali Bouguer	Anomali Sisa
233,711	72,12321	26,16467	-31,1923	-0,5617
251,7575	77,69236	28,18503	-30,2152	-0,3656
272,1836	83,99586	30,47180	-30,7852	-0,7409
229,7943	70,91452	25,72618	-32,5792	-2,4699
241,8782	74,64361	27,07901	-34,4336	-0,5308
250,4087	77,27612	28,03403	-36,0031	-0,3268
259,4221	80,05766	29,04311	-31,7219	-2,2784
219,0162	67,58840	24,51954	-33,0017	-0,8817
207,6877	64,09242	23,25128	-29,5241	-0,9005
201,1396	62,07168	22,51820	-29,7715	-1,6600
200,1793	61,77533	22,41069	-28,9994	-1,5367
199,0879	61,43853	22,28851	-28,0318	-1,0612
200,0771	61,74379	22,39925	-27,1679	-0,9367
198,9124	61,38437	22,26886	-26,5734	-1,1661
198,1898	61,16137	22,18796	-25,3481	-0,7727
197,8357	61,05210	22,14832	-24,5661	-0,7947
209,5355	64,66266	23,45815	-22,6595	2,1539
208,8705	64,45744	23,38370	-24,0892	1,2962
209,5434	64,66509	23,45903	-25,8679	0,3381
211,5188	65,27470	23,68019	-26,5389	0,4643
212,4249	65,55432	23,78163	-27,7542	0,0909
215,3608	66,46034	24,11031	-28,9508	-0,1769
216,7143	66,87803	24,26184	-29,9900	-0,4180
221,3895	68,32080	24,78524	-30,6060	-0,3973
223,2804	68,90433	24,99693	-31,1419	-0,4989

225,1908	69,49388	25,21081	-31,9511	-1,0229
227,1689	70,10432	25,43226	-32,4495	-1,3846
227,3824	70,17021	25,45616	-33,0259	-1,9830
230,1456	71,02293	25,76551	-32,7790	-1,9152
232,865	71,86214	26,06996	-32,1827	-1,5468
233,711	72,12321	26,16467	-31,1923	-0,5617



UNIVERSITAS BRAWIJAYA

(halaman ini sengaja dikosongkan)



Lampiran II**Nilai anomali Bouguer Penampang AA'**

Sampuraga Line 1	
Jarak	Nilai
0	-23,91016491
119,1447297	-23,95958232
192,4467833	-23,90146454
279,6452458	-24,22364162
421,0590879	-25,85879417
440,1457618	-26,03517805
600,6462779	-26,90668164
649,6713925	-26,9395961
761,1467939	-26,62029477
878,2836971	-26,12363212
921,64731	-25,7771099
1082,147826	-25,56276381
1106,896002	-25,61126122
1242,648342	-26,09021699
1335,508306	-26,35983239
1403,148858	-26,58001913
1563,649374	-27,03090789
1564,120611	-27,03208098
1724,14989	-27,48546118
1792,732916	-27,63387655
1884,650406	-27,88793486
2021,34522	-28,21007432
2045,150922	-28,27050307
2205,651438	-28,7114824
2249,957525	-28,88047907
2366,151954	-29,3290473

2478,569829	-29,92835403
2526,65247	-30,16416011
2687,152986	-31,10266927
2707,182134	-31,22785095
2847,653503	-31,89937733
2935,794439	-32,1422514
3008,154019	-32,32167556
3164,406743	-32,49598816
3168,654535	-32,5056702
3329,155051	-32,95966145
3393,019048	-33,15923271
3489,655567	-33,48723336
3621,631352	-33,73190358
3650,156083	-33,79152002
3810,656599	-33,43330861
3850,243657	-33,30350789
3971,157115	-32,76302074
4078,855962	-32,43461803
4131,657631	-32,29515499
4292,158147	-31,93033856
4307,468266	-31,89813737
4452,658663	-31,61625047
4536,080571	-31,42691858
4613,159179	-31,24931633
4764,692875	-30,79159675
4773,659695	-30,76093152
4934,160211	-30,12610914
4993,30518	-29,85367776
5094,660727	-29,34422968
5221,917485	-28,61835229
5255,161243	-28,42095604
5415,661759	-27,39165391

5450,529789	-27,16168279
5576,162275	-26,32570773
5679,142094	-25,64596568
5736,662791	-25,2716487
5897,163307	-24,26899324
5907,754398	-24,20453192
6057,663823	-23,38174976
6136,366703	-22,96967198
6218,164339	-22,61852693
6364,979008	-22,041324
6378,664856	-22,00212334
6539,165372	-21,60934378
6593,591312	-21,52820021
6699,665888	-21,45248517
6822,203617	-21,45482227
6860,166404	-21,47414941
7020,66692	-21,61082564
7050,815922	-21,64124063
7181,167436	-21,77243862
7279,428226	-21,88107656
7341,667952	-21,9628198
7502,168468	-22,18035741
7508,040531	-22,18910146
7662,668984	-22,42129692
7736,652835	-22,54259376
7823,1695	-22,68275106
7965,26514	-22,89980173
7983,670016	-22,92436782
8144,170532	-23,1387296
8193,877445	-23,19733035
8304,671048	-23,29366149
8422,489749	-23,35694909

8465,171564	-23,36789831
8625,67208	-23,3541188
8651,102054	-23,3423566
8786,172596	-23,26904941
8879,714358	-23,19676778
8946,673112	-23,14866488
9107,173628	-23,03306859
9108,326663	-23,03226967
9267,674144	-22,95895055
9336,938968	-22,93944053
9428,17466	-22,97556734
9565,551272	-23,18189882
9588,675176	-23,21156645
9749,175692	-23,45135467
9794,163577	-23,49736185
9909,676209	-23,56655235
10022,77588	-23,56022811
10070,17672	-23,53774926
10230,67724	-23,44451035
10251,38819	-23,4310203
10391,17776	-23,32101184
10480,00049	-23,24575131
10551,67827	-23,17067799
10708,6128	-23,01479488
10712,17879	-23,01181481
10872,6793	-22,8866976
10937,2251	-22,82759998
11033,17982	-22,72136799
11165,8374	-22,60510046
11193,68034	-22,57721762
11354,18085	-22,42383425
11394,44971	-22,38736913



UNIVERSITAS BRAWIJAYA

(halaman ini sengaja dikosongkan)



Lampiran III**Nilai anomali Bouguer Penampang BB'**

Sampuraga Digit 2	
Titik	Nilai
0	-42,511234
118,06985	-23,775534
157,56248	-23,763934
296,59387	-23,724441
435,62526	-24,631633
519,283	-25,208605
574,65664	-25,655015
713,68803	-26,161126
852,71942	-26,378314
920,49615	-26,5267
991,75081	-26,611764
1130,7822	-27,05281
1269,8136	-27,664819
1321,7093	-27,888046
1408,845	-28,189392
1547,8764	-28,186832
1686,9077	-28,095301
1722,9224	-28,100492
1825,9391	-28,190318
1964,9705	-28,047288
2104,0019	-27,905508
2124,1356	-27,904149
2243,0333	-27,91388
2382,0647	-28,070292
2521,0961	-28,359685
2525,3487	-28,370977
2660,1275	-28,768815
2799,1588	-29,27416

2926,5619	-29,829164
2938,1902	-29,880009
3077,2216	-30,61927
3216,253	-31,587152
3327,775	-32,454448
3355,2844	-32,627525
3494,3158	-33,119505
3633,3472	-33,744998
3728,9882	-33,992219
3772,3785	-34,049759
3911,4099	-33,86601
4050,4413	-33,725464
4130,2013	-33,73721
4189,4727	-33,723609
4328,5041	-33,739667
4467,5355	-33,699941
4531,4145	-33,572952
4606,5669	-33,421248
4745,5983	-32,981
4884,6296	-32,369777
4932,6276	-32,131832
5023,661	-31,657644
5162,6924	-30,881089
5301,7238	-30,066981
5333,8408	-29,877525
5440,7552	-29,226381
5579,7866	-28,398978
5718,818	-27,602885
5735,0539	-27,525826
5857,8494	-26,92313
5996,8807	-26,442627
6135,9121	-25,978171

6136,2671	-25,976801
6274,9435	-25,404238
6413,9749	-24,795974
6537,4802	-24,300059
6553,0063	-24,234918
6692,0377	-23,730302
6831,0691	-23,273866
6938,6934	-22,916682
6970,1005	-22,810659
7109,1318	-22,295013
7248,1632	-21,684467
7339,9065	-21,232141
7387,1946	-21,001569
7526,2226	-20,26246
7665,2574	-19,335157
7741,1197	-18,790468
7804,2888	-18,415374
7943,3202	-18,191175
8082,3516	-18,146565
8142,3328	-18,154769
8221,3829	-18,199813
8360,4143	-18,279613
8499,4457	-18,382418
8543,546	-18,436934
8638,4771	-18,573882
8777,5085	-18,725759
8916,5399	-18,837047
8944,7591	-18,850921
9055,5713	-18,910454
9194,6026	-18,996128
9333,634	-19,072528
9345,9723	-19,077833

9472,6654	-19,141154
9611,6968	-19,147179
9747,1854	-19,208444
9750,7282	-19,210051
9889,7596	-19,223836
10028,791	-19,258611
10039,915	-42,511234



Lampiran IV**Nilai anomali sisa Penampang AA'**

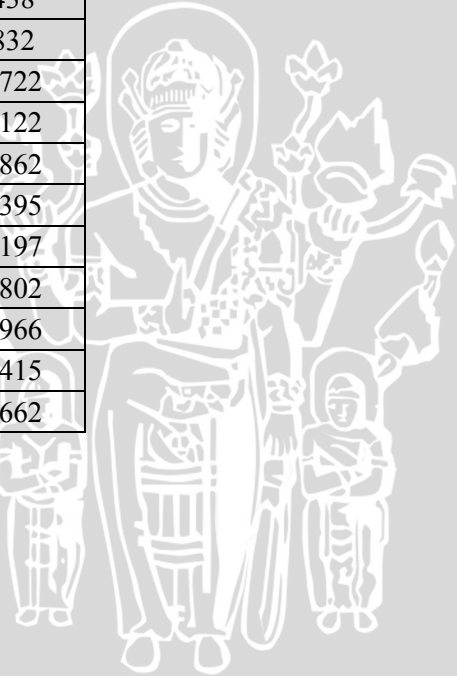
Sampuraga AS	
Titik	Nilai
0	0,8633773
66,358154	0,8805299
124,69892	0,8636497
280,89572	0,756223
309,15136	0,7197219
437,09251	0,568568
551,94457	0,3102772
593,2893	0,1831895
749,48609	-0,2789137
794,73778	-0,3595195
905,68289	-0,5768202
1037,531	-0,7621759
1061,8797	-0,7885576
1218,0765	-1,1842291
1280,3242	-1,4305523
1374,2733	-1,639866
1523,1174	-1,9482053
1530,4701	-1,9527503
1686,6668	-1,5507
1765,9106	-1,316318
1842,8636	-1,2207676
1999,0604	-1,1633067
2008,7038	-1,1365569
2155,2572	-0,5003903
2251,497	-0,2124009
2311,454	-0,0909175
2467,6508	0,0045523
2494,2902	-0,0021159

2623,8476	-0,1436621
2737,0835	-0,3540105
2780,0444	-0,4631809
2936,2412	-0,8346125
2979,8767	-0,9460487
3092,438	-1,2146387
3222,6699	-1,4621192
3248,6348	-1,4890626
3404,8316	-1,6835107
3465,4631	-1,7483715
3561,0284	-1,7901463
3708,2563	-1,7921817
3717,2252	-1,7888402
3873,4219	-1,6491123
3951,0495	-1,5049189
4029,6187	-1,3622303
4185,8155	-1,042364
4193,8427	-1,0291517
4342,0123	-0,8525601
4436,6359	-0,8783036
4498,2091	-0,8763504
4654,4059	-0,9651774
4679,4291	-0,9875086
4810,6027	-1,0739815
4922,2223	-1,120817
4966,7995	-1,1387878
5122,9963	-1,2298129
5165,0155	-1,3175321
5279,1931	-1,5845176
5407,8087	-1,7890307
5435,3899	-1,7205352
5591,5867	-0,353148



5650,602	-0,1395681
5747,7835	-0,0196274
5893,3952	0,2603671
5903,9803	0,2849137
6060,177	0,7563535
6136,1884	1,0077421
6216,3738	1,3054087
6372,5706	1,9272487
6378,9816	1,9561596
6528,7674	2,5855933
6621,7748	2,9097277
6684,9642	3,0740477
6841,161	3,2613017
6864,568	3,2837618
6997,3578	3,3851107
7107,3612	3,4286235
7153,5546	3,4228666
7309,7514	3,371747
7350,1544	3,3531605
7465,9482	3,2465221
7592,9476	3,1123868
7622,145	3,070565
7778,3418	2,8351671
7835,7408	2,7356466
7934,5386	2,5248721
8078,534	2,1671734
8090,7353	2,1338016
8246,9321	1,6616044
8321,3273	1,41433
8403,1289	1,1729263
8559,3257	0,8344449
8564,1205	0,8260713

8715,5225	0,5992538
8806,9137	0,4951724
8871,7193	0,4520433
9027,9161	0,3610145
9049,7069	0,3475741
9184,1129	0,3116261
9292,5001	0,2748099
9340,3097	0,2682127
9496,5065	0,2195096
9535,2933	0,1900749
9652,7033	0,0943613
9778,0865	-0,0940247
9808,9001	-0,1512063
9965,0969	-0,4011926
10020,88	-0,4702675
10121,294	-0,5762496
10263,673	-0,642438
10277,49	-0,646832
10433,687	-0,6448722
10506,466	-0,6273122
10589,884	-0,6010862
10746,081	-0,5321395
10749,259	-0,5306197
10902,278	-0,4590802
10992,053	-0,4168966
11058,474	-0,3891415
11198,593	-0,3308662



Lampiran V**Nilai anomali sisa Penampang BB'**

Asisa Line 2	
Titik	Nilai
0	0,5772491
82,395408	0,5225318
122,21407	0,5124099
281,85613	0,5186463
313,55173	0,5030342
441,49819	0,4671424
544,70805	0,5604354
601,14025	0,6114805
760,78231	0,6526159
775,86437	0,6443972
920,42437	0,6105764
1007,0207	0,6537654
1080,0664	0,6751865
1238,177	0,6837465
1239,7085	0,6838224
1399,3506	0,6737565
1469,3333	0,6419655
1558,9926	0,5989634
1700,4897	0,4475293
1718,6347	0,424478
1878,2767	0,2240127
1931,646	0,2219118
2037,9188	0,3397575
2162,8023	0,3626918
2197,5609	0,3711508
2357,2029	0,3237541
2393,9586	0,3002835
2516,845	0,1780701

2625,1149	0,0015979
2676,487	-0,1207566
2836,1291	-0,5744366
2856,2713	-0,6323288
2995,7712	-1,0831221
3087,4276	-1,338658
3155,4132	-1,5057307
3315,0553	-1,794591
3318,5839	-1,7988451
3474,6973	-1,9578114
3549,7402	-1,9459001
3634,3394	-1,9459707
3780,8965	-1,8178587
3793,9815	-1,8085608
3953,6235	-1,6790913
4012,0529	-1,6342256
4113,2656	-1,6303369
4243,2092	-1,6053374
4272,9076	-1,6311458
4432,5497	-1,6704291
4474,3655	-1,7595266
4592,1918	-1,8411414
4705,5218	-2,0223462
4751,8338	-2,0392456
4911,4759	-1,9905984
4936,6781	-1,9507518
5071,1179	-1,737414
5167,8345	-1,5429475
5230,76	-1,4428041
5390,4021	-1,2065155
5398,9908	-1,1993776
5550,0441	-1,2498383

5630,1471	-1,3806798
5709,6862	-1,5529865
5861,3034	-1,9493629
5869,3282	-1,9722299
6028,9703	-2,4094218
6092,4597	-2,5635029
6188,6124	-2,7702235
6323,6161	-3,0092813
6348,2544	-3,0067256
6507,8965	-3,1602239
6554,7724	-3,138678
6667,5385	-2,9746631
6785,9287	-2,4161789
6827,1806	-2,289026
6986,8227	-1,6580638
7017,085	-1,5473326
7146,4647	-1,0807402
7248,2414	-0,783113
7306,1068	-0,6120531
7465,7488	-0,2601193
7479,3977	-0,2351597
7625,3909	0,0236806
7710,554	0,1283987
7785,033	0,2099359
7941,7103	0,2691809
7944,675	0,2720555
8104,3171	0,3372576
8172,8666	0,3791501
8263,9591	0,4336142
8404,023	0,3999492
8423,6012	0,3979645
8583,2433	0,3745776

8635,1793	0,3533725
8742,8853	0,3125209
8866,3356	0,2897455
8902,5274	0,2871372
9062,1695	0,2578947
9097,4919	0,2509435
9221,8115	0,2108737
9328,6482	0,1728582
9381,4536	0,1397545
9541,0956	0,1066385
9559,8046	0,1070962
9700,7377	0,1440173
9790,9609	0,1568079
9860,3798	0,1969812
10020,022	0,1856338
10022,117	0,1854296
10179,664	0,372077
10253,274	0,4662326
10339,306	0,3952202
10484,43	0,2841752
10498,948	0,2879574
10658,59	0,3329329
10715,586	0,3496034
10818,232	0,1856619
10946,742	-0,0601929
10977,874	-0,0794967
11137,516	-0,08124
11177,899	-0,0819767
11297,158	-0,0772574
11409,055	-0,1436762
11437,276	-0,1599677